

บทที่ 1

บทนำ

บทนำต้นเรื่อง

ปาล์มน้ำมัน (*Elaeis guineensis* Jacq.) เป็นพืชยืนต้นใบเลี้ยงเดี่ยว จัดอยู่ในวงศ์ปาล์ม เช่นเดียวกับมะพร้าว อินทนิล และตาลโตนด ถือกำเนิดเดิมอยู่ในทวีปแอฟริกาและทวีปอเมริกาใต้ สำหรับทวีปแอฟริกามีการนำปาล์มน้ำมันมาปลูกครั้งแรกที่ประเทศโคลินโคนีเซีย ต่อมาจึงมีการปลูกอย่างแพร่หลายในภูมิภาคเอเชียตะวันออกเฉียงใต้ โดยสายพันธุ์ที่ปลูกในเชิงเศรษฐกิจคือสายพันธุ์เกเนอรา ปัจจุบันปาล์มน้ำมันมีการปลูกเป็นการค้าในแอฟริกาตะวันตก บางประเทศของทวีปอเมริกาใต้ บางส่วนในหมู่เกาะแปซิฟิก ประเทศโคลินเดีย ประเทศมาเลเซีย ประเทศโคลินโคนีเซีย และภาคใต้ของประเทศไทย (สุรกิตติ ศรีกุลและภิญโญ มีเดช, 2541) และเป็นพืชอุดหนุนกรรมที่มีบทบาททางเศรษฐกิจที่สำคัญในการผลิตน้ำมันของโลก ที่มีส่วนแบ่งการผลิตเพิ่มขึ้นอย่างต่อเนื่อง และรวดเร็วจากร้อยละ 9.97 ในปี พ.ศ. 2503 เป็นร้อยละ 20.90 ในปี พ.ศ. 2533 และเป็นร้อยละ 21.90 ในปี พ.ศ. 2540 (สำนักงานเศรษฐกิจการเกษตร, 2541) จากนั้นในปี พ.ศ. 2543 และ 2544 การส่งออกปาล์มน้ำมันเพิ่มขึ้นอย่างรวดเร็วเป็นร้อยละ 52.70 และ 279.60 ตามลำดับ ดังนั้นตลาดส่งออกของไทยในอนาคต จึงมีแนวโน้มที่ดีที่จะสามารถผลักดันผลิตภัณฑ์น้ำมันปาล์มของไทยให้อยู่ในแนวทางของประเทศผู้ส่งออกน้ำมันปาล์มที่สำคัญของโลกต่อไปได้ (<http://www.dip.go.th/Research/PreviewInvestment1.asp?WebSiteID=19&InvestmentFromID=72>)

ไอโซพรีโนยด์ (isoprenoids) เป็นสารประกอบกลุ่มไนโตรในธรรมชาติที่พบได้ในสิ่งมีชีวิตทุกชนิด โดยเกิดจากการสังเคราะห์ผ่านสารตั้งต้น isopentenyl diphosphate (IPP) และ dimethylallyl diphosphate (DMAPP) เดิมเชื่อว่า isopentenyl diphosphate และ dimethylallyl diphosphate ในเซลล์ของสิ่งมีชีวิตทุกชนิดสังเคราะห์ผ่านวิตี acetate/mevalonate (MVA) บริเวณไซโทพลาสติกเท่านั้น แต่ปัจจุบันจากการศึกษาในแบคทีเรีย สาหร่ายและพลาสติดของพืชชั้นสูง พบว่าสามารถสังเคราะห์สารดังกล่าวได้โดยผ่านวิตี non-mevalonate หรือ 2-C-methyl-D-erythritol-4-phosphate (MEP) สำหรับปฏิกิริยาขั้นแรกของวิตี MEP เกิดจากการรวมตัวกันของ pyruvate กับ glyceraldehyde-3-phosphate ได้เป็น 1-deoxy-D-xylulose-5-phosphate (DXP) โดยเอนไซม์ 1-deoxy-D-xylulose-5-phosphate synthase (DXS) จากนั้นจึงเปลี่ยนเป็น 1-deoxy-D-xylulose-5-phosphate reductoisomerase (DXR) และผ่านกระบวนการอีกหลายขั้นตอนจนได้ isopentenyl diphosphate และ dimethylallyl diphosphate ตัวอย่างของไอโซพรีโนยด์ในพืช

ที่สังเคราะห์ผ่านวิถี MEP เช่น chlorophylls, α -tocopherol, (vitamin E), thiamine (vitamin B₁), plastoquinone-9, gibberellins (GA), pyridoxal (vitamin B₆), abscisic acid (ABA), และ carotenoids

แครอทีนอยด์ (carotenoids) เป็นสารกลุ่มไออกเพรินอยด์ซึ่งเป็นวงคัตุที่สำคัญในธรรมชาติ พบได้ สาหร่าย จุลินทรีย์ในกลุ่มเชื้อราแบคทีเรียสังเคราะห์แสง และในพลาสติดของพืชชั้นสูง (Armstrong and Hearst, 1996) บทบาทโดยทั่วไปของแครอทีนอยด์คือป้องกันหรือต่อต้านการทำลายจากอนุมูลอิสระ (Bartley and Scolnik, 1995) และเนื่องจากสารในกลุ่มแครอทีนอยด์เป็นสารมีสีจึงนำมาใช้เป็นสารเรืองสีในอุตสาหกรรมอาหารเพาะเลี้ยงสัตว์น้ำ (Meyer et al., 1993) รวมถึงเป็นสารให้สีสำหรับปูรุ่งแต่งอาหาร นอกจากนี้ยังช่วยในการรักษาโรคในมนุษย์ เนื่องจากแครอทีนอยด์ประกอบด้วย β -carotene ซึ่งเป็นสารต้นกำเนิดของวิตามินเอ จึงใช้เป็นอาหารเสริมเพื่อป้องกันและรักษาโรคขาดวิตามินเอ อีกทั้งช่วยลดการเกิดโรคหัวใจ (Palace et al., 1996) มะเร็งปอด (Mayne, 1996) รวมถึงสามารถป้องกันรังสีอัลตราไวโอเลต (Biesalski and Obermueller-Jevic, 2001; Heinrich et al., 2002) ดังนั้นในทางเภสัชกรรมจึงนำมาทำยา.rักษาโรคผิวหนังที่เกิดจากการแพ้แสงแดด เพื่อช่วยป้องกันและลดการเกิดมะเร็งที่ผิวหนัง จากความสำคัญของแครอทีนอยด์โดยเฉพาะ β -carotene ในทางการแพทย์และทางด้านเศรษฐกิจ ดังนั้นหากสามารถควบคุมและเพิ่มปริมาณการสังเคราะห์แครอทีนอยด์ในพืชให้เพิ่มมากขึ้นได้ ก็อาจนำไปสู่การใช้ประโยชน์ได้มากยิ่งขึ้น การควบคุมการสังเคราะห์แครอทีนอยด์โดยใช้ยีนจากวิถี MEP เป็นอีกแนวทางหนึ่งที่อาจนำไปสู่การแก้ปัญหาดังกล่าว

การศึกษาครั้งนี้จึงได้มุ่งเน้นถึงความสัมพันธ์ของยีน *dxs* และ *dxr* จากวิถี MEP กับปริมาณแครอทีนอยด์ในผลปาล์มน้ำมัน รวมถึงการหาลำดับนิวคลีโอไทด์ที่สมบูรณ์ของยีน *dxs* เพื่อเป็นข้อมูลพื้นฐานในการประยุกต์ใช้ต่อไป

การตรวจเอกสาร

1.1 อนุกรมวิธานของปาล์มน้ำมัน

ปาล์มน้ำมัน (oil palm) เป็นพืชยืนต้นใบเดี่ยวเดียวจัดอยู่ในตระกูลปาล์ม เช่นเดียวกับมะพร้าว อินทนิล และตาลโหนด ปัจจุบันสายพันธุ์ที่ปลูกในเชิงเศรษฐกิจคือ สายพันธุ์เกเนอรามี ชื่อวิทยาศาสตร์คือ *Elaeis guineensis* Jacq. (African oil palm) โดยจัดลำดับอนุกรมวิธานได้ดังนี้ (Dahlgren et al., 1985)

Division Spermatophyta

Subdivision Angiospermae

Class Monocotyledoneae

Subclass Arecidae

Superorder Areciflorae

Order Arecales

Family Arecaceae

Subfamily Coccoideae

Genus *Elaeis*

Species *Elaeis guineensis* Jacq.

1.2 ถิ่นกำเนิดและประวัติการปลูกปาล์มน้ำมัน

ปาล์มน้ำมันเป็นพืชที่ปลูกกันอย่างกว้างขวาง แหล่งปลูกสำคัญอยู่ในทวีปแอฟริกา อเมริกากลาง และเอเชียตะวันออกเฉียงใต้ จากการค้นพบปาล์มน้ำมันป่า และปาล์มน้ำมันชนิด (species) 亲んぐบริเวณชายฝั่งทะเลประเทศไทย ทวีปอเมริกาใต้ และการค้นพบซากดึกดำบรรพ์ (fossil) ลักษณะคล้ายละอองเกสรตัวผู้ของปาล์มน้ำมันที่ประทศในจีเรย์ ทวีปแอฟริกา (พระร้าย เหลืองอาภพงศ์, 2523 ; ศิริชัย นามวัฒนะ, 2532) ประกอบกับการศึกษาทางด้านภาษาดั้งเดิม ตลอดจนหลักฐานทางประวัติศาสตร์ (Henderon and Osborne, 2000) ทำให้สามารถบ่งชี้ได้ว่า แหล่งกำเนิดปาล์มน้ำมันอยู่ในทวีปแอฟริกา และทวีปอเมริกาใต้

ในทวีปเอเชียมีการนำปาล์มน้ำมันเข้ามาปลูกครั้งแรกในปี พ.ศ. 2391 โดยชาวโปรตุเกสที่ประเทศอินโดนีเซีย แต่เริ่มปลูกเป็นการค้าอย่างจริงจังในปี พ.ศ. 2454 สำหรับประเทศไทยได้เริ่มเพาะปลูกปาล์มน้ำมันครั้งแรกที่สวนพฤกษาติสิงคโปร์ ในราวปี พ.ศ. 2413 และในปี พ.ศ.

2460 จึงได้เริ่มปลูกปาล์มน้ำมันเป็นการค้าครั้งแรกที่ Tennamaram Estate และ Elmina Estate ในรัฐ Selangor

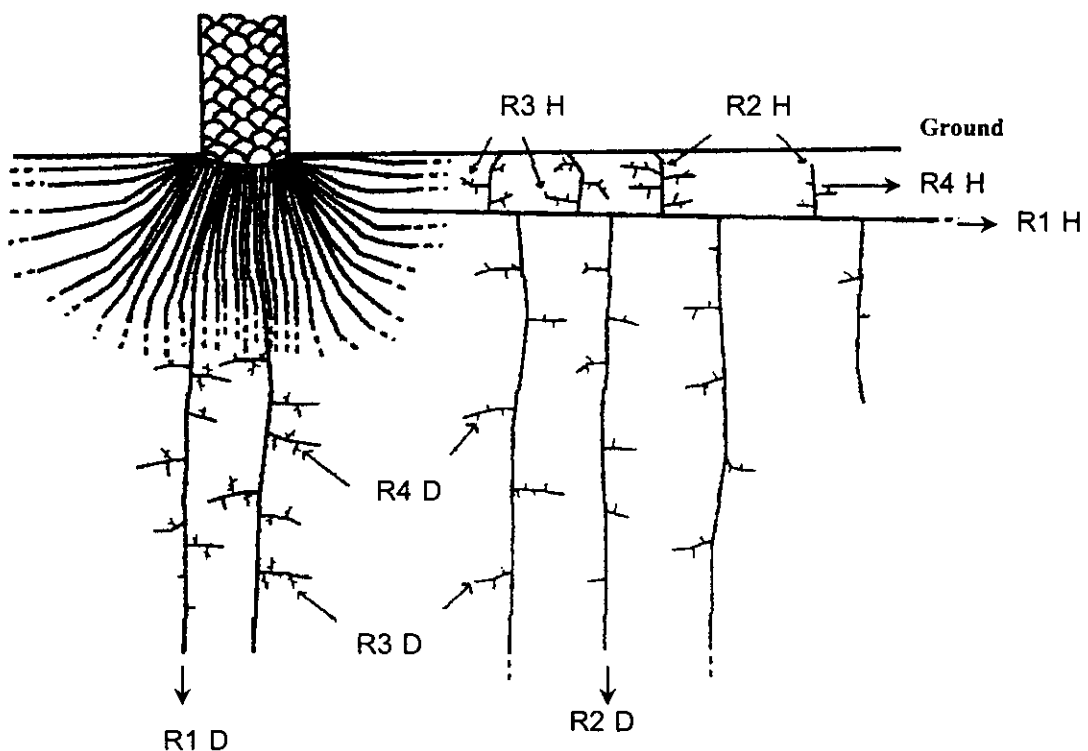
การปลูกปาล์มน้ำมันในประเทศไทย พระยาประดิพันธ์ภูมิ เป็นผู้นำเข้ามาปลูกเป็นครั้งแรกจากประเทศอินโดนีเซียและมาเลเซีย แต่ได้ปลูกเป็นไม้ประดับสวยงามที่สถานที่ทดลองยางคองก้าส จังหวัดสงขลา และสถานีวิถีกรรมพลีว จังหวัดจันทบุรี การปลูกปาล์มน้ำมันเป็นการค้าในประเทศไทยเริ่มปลูกครั้งแรกบริเวณภาคใต้ก่อนส่งความโลกล้วนที่สองโดยมีอมรรสมาน ลักษณ์กิติยากร ในเนื้อที่ประมาณ 1,000 ไร่ ที่ตำบลบ้านปูริ อำเภอสะเตา จังหวัดสงขลา ต่อมาช่วงหลังส่งความได้หยุดกิจการไปและเริ่มมีการเพาะปลูกปาล์มน้ำมันเป็นการค้าอีกครั้งในปี พ.ศ. 2511 เนื่องจากมูลเหตุสำคัญที่พ่อสรุปได้คือ ยางพาราในขณะนั้นมีราคาต่ำลง เพราะมีวัสดุบางส่วนเข้ามาแข่งขันในตลาดเพิ่มมากขึ้น ประกอบกับประเทศไทยเริ่มมีสภาพดินฟ้าอากาศคล้ายคลึงกับประเทศไทยประสมความสำเร็จในการประกอบกิจการปาล์มน้ำมันจนทำให้ประเทศไทยเริ่ยกลายเป็นประเทศไทยผู้ส่งออกน้ำมันปาล์มและพันธุ์ปาล์มรายใหญ่สุดของโลก รวมถึงความต้องการปาล์มน้ำมันของโลกมีแนวโน้มสูงขึ้น (พระยัน เหลืองอาภาพงศ์, 2523) ดังนั้นรัฐบาลจึงได้ส่งเสริมการปลูกปาล์มน้ำมันเป็นรูปบริษัท โดยขณะนั้นมีโครงการปลูกปาล์มน้ำมัน 2 โครงการ คือโครงการนิคมสร้างตนเองพัฒนาภาคใต้ จังหวัดสตูล เนื้อที่ปลูก 20,000 ไร่ และโครงการบริษัทอุตสาหกรรมปาล์มน้ำมันและสวนปาล์มจำกัด อำเภออ่าวลึก จังหวัดกรุงเทพฯ เนื้อที่ปลูก 20,000 ไร่ หลังจากทั้งสองโครงการประสบความสำเร็จ รัฐบาลจึงได้ขยายพื้นที่เพาะปลูกให้แก่เกษตรกร และส่งเสริมการปลูกปาล์มน้ำมันตามสหกรณ์นิคมต่างๆ ของกระทรวงเกษตรและสหกรณ์ ทำให้การปลูกปาล์มน้ำมันในประเทศไทยขยายตัวไปอย่างรวดเร็ว และมีแนวโน้มเพิ่มสูงขึ้นทุกปี (ดำรง พงศ์มานะวุฒิ, 2532)

1.3 ลักษณะทางพฤกษาศาสตร์ของปาล์มน้ำมัน

1.3.1 ราก (root)

ปาล์มน้ำมันเป็นพืชยืนต้นที่มีระบบรากเป็นระบบรากพิเศษ (adventitious root system) ไม่มีรากแก้ว รากพิเศษอยู่ตื้นใกล้ผิวดิน แบ่งออกเป็น 4 พาก (รูปที่ 1) คือ รากแรก (primary adventitious root) เป็นรากกลุ่มแรกที่ออกจากส่วนลำต้นได้ดิน มีขนาดใหญ่สุด เช่นฝ่าศูนย์กลางเฉลี่ย 6-10 มิลลิเมตร แบ่งออกเป็น 2 ประเภท คือประเภทที่เจริญแผ่กระจายออกไปตามแนวโน้มเรียกว่า รากแรกแนวตั้ง (horizontal primary adventitious root) และประเภทที่เจริญแผ่กระจายออกไปตามความลึกของดินเรียกว่า รากแรกแนวตั้ง (descending primary adventitious root) รากที่แตกแขนงออกจากรากแรกเรียกว่า รากสอง

(secondary adventitious root) มีขนาดของจากรากแรก เส้นผ่าศูนย์กลาง 1-4 มิลลิเมตร รากที่แตกแขนงออกจากรากสองเรียกว่า รากสาม (tertiary adventitious root) เป็นรากที่มีเส้นผ่าศูนย์กลาง 0.5-10.5 มิลลิเมตร ความยาวประมาณ 10 มิลลิเมตร และรากที่มีขนาดเล็กสุดเรียกว่า รากสี่ (quaternary adventitious root) แตกแขนงออกจากรากสาม มีเส้นผ่าศูนย์กลาง 0.2-0.5 มิลลิเมตรและเป็นรากสำหรับดูดน้ำและสารอาหาร โครงสร้างของรากทั้ง 4 พากมีลักษณะคล้ายคลึงกัน โดยมีผนังเซลล์ (cell wall) บางๆ อยู่ชั้นนอกสุด ไม่มีคิวทิเคิล (cuticle) และรากขนอ่อน (root hair) เอปิเดอร์มิส (epidermis) มีอายุสั้น ดังนั้นจึงไม่พบเอปิเดอร์มิสในรากที่มีอายุมาก



รูปที่ 1 ลักษณะระบบรากของปาล์มน้ำมัน (Jourdan et al., 2000)

R1 H และ R1 D = รากแรกแนวโคนและรากแรกแนวดิ่ง

R2 H และ R2 D = รากสองแนวโคนและรากสองแนวดิ่ง

R3 H และ R3 D = รากสามแนวโคนและรากสามแนวดิ่ง

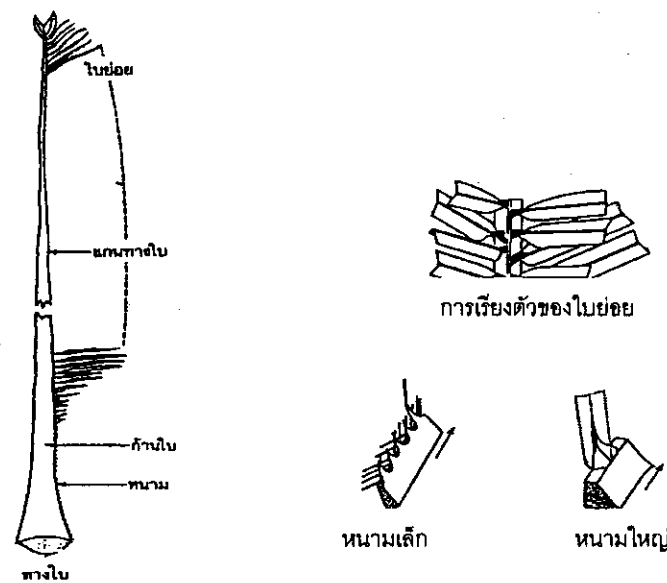
R4 H และ R4 D = รากสี่แนวโคนและรากสี่แนวดิ่ง

1.3.2 ลำต้น (stem)

ปาล์มน้ำมันมีลำต้นตั้งตรง ประกอบรี็นจากเนื้อเยื่อเส้นใย มียอดเดี่ยวสูงประมาณ ขนาดเส้นผ่าศูนย์กลาง 10-12 เซนติเมตร สูง 2.5-4 เซนติเมตร ประกอบไปด้วยใบอ่อนและเนื้อเยื่อเจริญ การเจริญของลำต้นในระยะ 3 ปีแรกจะพัฒนาทางด้านกว้างโดยลำต้นจะขยายส่วนฐานให้ใหญ่ขึ้น หลังจาก 3 ปี ปล้องของลำต้นจะยึดตัว ทำให้การเจริญเติบโตทางด้านความกว้างหยุดไปหรือมีอย่างน้อย ความสูงของลำต้นเพิ่มขึ้นปีละ 35-60 เซนติเมตร ตามสภาพแวดล้อมและพันธุกรรม โดยทั่วไปปาล์มน้ำมันมีความสูงมากกว่า 30 เมตร อายุมากกว่า 100 ปี แต่การปลูกปาล์มน้ำมันเป็นการค้า ต้องการต้นปาล์มน้ำมันความสูงไม่เกิน 15-18 เมตร และเก็บผลผลิตจนถึงอายุ 25 ปี

1.3.3 ใบ (leaf)

ใบปาล์มน้ำมันเป็นใบประกอบรูปขนนก (pinnate) เรียกว่า ทางใบ แต่ละทางใบแบ่งออกเป็น 2 ส่วนคือ ส่วนแกนกลางที่มีใบย่อย 2 ชั้น และส่วนก้านทางใบซึ่งมีขนาดสั้นกว่าส่วนแกน และมีหนามสั้นๆ อยู่ 2 ชั้น (รูปที่ 2) แต่ละทางใบมีใบย่อย 100-160 คู่ ยาว 100-120 เซนติเมตร กว้าง 4-6 เซนติเมตร บริเวณทางใบที่ปาล์มน้ำมันสร้างขึ้นอยู่กับอายุ สภาพแวดล้อม และพันธุกรรม ภายใต้สภาพปกติ มีการสร้างทางใบปีละประมาณ 20-39 ทางใบต่อต้น



รูปที่ 2 ลักษณะใบปาล์มน้ำมัน และการเรียงตัวของใบย่อย (อธชา เสือทิม, 2532)

1.3.4 ดอกและช่อดอก (flower and inflorescence)

ปาล์มน้ำมันจะเริ่มออกดอกเมื่ออายุประมาณ 2-3 ปี หลังจากปลูกลงแปลงปลูก ซึ่งออกเกิดจากฤดูกาลของโคนหางใบ โดยปกติเมื่อต้นปาล์มน้ำมันมีอายุมากขึ้นการผลิตหางใบหนึ่งทางเท่ากับการผลิตช่อดอกหนึ่งซึ่งเสนอ ช่อดอกของปาล์มน้ำมันส่วนใหญ่เป็นแบบโนโนอีเชียต (monoecious) คือช่อดอกตัวผู้ (male inflorescences) และตัวเมีย (female inflorescences) แยกกันอยู่คนละช่อในต้นเดียวกัน มีส่วนน้อยที่ดอกตัวผู้และดอกตัวเมียอยู่ในช่อเดียวกัน เรียกว่า ช่อดอกผสม (hermaphrodite inflorescences หรือ mixed inflorescences) ซึ่งมักปรากฏในปาล์มน้ำมันอายุน้อย จำนวนหรืออัตราของช่อดอกตัวผู้ และช่อดอกตัวเมียในแต่ละต้นจะแตกต่าง กันไป ซึ่งจำนวนดังกล่าวมีผลต่อผลผลิตปาล์มน้ำมันอย่างมาก โดยต้นปาล์มน้ำมันที่ให้ช่อดอกตัวเมียมากสามารถให้ผลผลิตทะลุปาล์มน้ำมันสูง

1.3.4.1 ช่อดอกตัวเมีย

ช่อดอกตัวเมียของปาล์มน้ำมันมีขนาดใหญ่กว่าช่อดอกตัวผู้ โดยในแต่ละช่อ มีดอกตัวเมียหลายพันดอก ดอกตัวเมียมีขนาดตั้งแต่ 24-45 มิลลิเมตร ส่วนปลายมีหนามแหลม ยาว ยอดเกสรตัวเมีย (stigma) มี 3 แฉก เมื่อดอกพร้อมผสม ยอดเกสรตัวเมียมีสีเหลืองแกบแดง ระยะเวลาที่ดอกตัวเมียสามารถรับการผสมเกสรประมาณ 3 วัน

1.3.4.2 ช่อดอกตัวผู้

ช่อดอกตัวผู้มีลักษณะคล้ายนิ่วเมือ ยางเรียว ไม่มีหนาม ขนาดของดอกตัวผู้เล็กกว่าดอกตัวเมียมาก เมื่อดอกตัวผู้เจริญเติบโต มีสีเหลืองสด กลิ่นหอม การบานของดอกตัวผู้ใช้เวลาประมาณ 2 วันขึ้นไป ละของเกสรตัวผู้มีขนาดเล็กมาก ในสภาพธรรมชาติมีชีวิตได้ไม่นาน แต่หากนำลงของเกสรตัวผู้มาเก็บรักษาในสภาพที่มีอุณหภูมิและความชื้นพอเหมาะสม สามารถยืดอายุ ละของเกสรได้นานเป็นปี ต้นปาล์มน้ำมันที่โตเต็มที่ช่อดอกตัวผู้มีต่อความประมาณ 126,000 ดอก ให้ละของเกสรมากกว่า 900 ล้านละของเกสร มีน้ำหนักประมาณ 30-50 กรัม

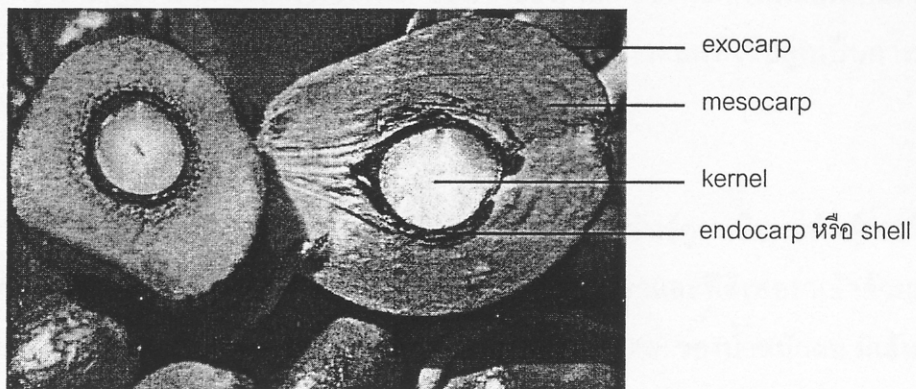
1.3.4.3 ช่อดอกผสม

เป็นช่อดอกที่มีทั้งช่อดอกตัวเมียและช่อดอกตัวผู้ผสมภายในช่อเดียว ลักษณะช่อดอกผสมพบเป็นส่วนน้อยในปาล์มน้ำมัน และพบในต้นที่มีอายุน้อยเท่านั้น ช่อดอกตัวเมียมักอยู่บริเวณกลางช่อดอก ช่อดอกตัวผู้อยู่บริเวณส่วนบนและส่วนล่างของช่อดอก ลักษณะการเป็นช่อดอกผสมเป็นลักษณะที่ไม่ดี เนื่องจากทำให้ปาล์มน้ำมันมีผลผลิตต่ำ

1.3.5 ผล (fruit)

ผลปาล์มน้ำมันเป็นผลที่มีเมล็ดแข็ง (drupes) รูปร่างหลายแบบตั้งแต่รูปเรียวยาวแหลมจนถึงรูปไข่ ความยาวผลอยู่ระหว่าง 2-5 เซนติเมตร น้ำหนักผลมีตั้งแต่ 3 กรัมจนถึงมากกว่า 30 กรัม การสุกของผลปาล์มน้ำมันขึ้นอยู่กับสภาพแวดล้อม ที่สำคัญได้แก่ ปริมาณฝนหรือความชื้นของอากาศ ขณะที่ผลปาล์มน้ำมันเจริญเติบโต หากมีสภาวะแห้งแล้งจะทำให้ช่วงเวลาการสุกยาวนานอโกากไป ดังนั้นการเพาะปลูกในสภาพฝนตกสม่ำเสมอตลอดปี ผลปาล์มน้ำมันจะสุกเร็วกว่า ในสภาพฝนแล้ง เมื่อผลปาล์มน้ำมันเริ่มสุก ลักษณะของผลค่อยๆเปลี่ยนจากสีเขียวหรือสีม่วงดำเป็นสีเหลืองส้ม

ผลปาล์มน้ำมัน (รูปที่ 3) ประกอบด้วยชั้นนอกสุดเรียกว่า เปลือกนอก (exocarp) ลักษณะบาง มีสีแตกต่างกันแล้วแต่ลักษณะพันธุ์ ชั้นถัดไปเป็นชั้นเปลือกหรือชั้นเนื้อปาล์ม (mesocarp) มีความหนามากกว่าชั้นเปลือกนอก ชั้นนี้มีความหนาตามลักษณะพันธุ์ เช่นเดียวกัน ชั้นเนื้อปาล์มเป็นชั้นที่มีความสำคัญ เพราะน้ำมันปาล์มส่วนใหญ่เก็บสะสมในชั้นนี้ และเรียกน้ำมันที่สกัดจากชั้นเนื้อปาล์มว่า น้ำมันปาล์ม (palm oil) ชั้นเปลือกนอกและชั้นเนื้อปาล์มเรียกรวมว่า เพอริคาร์พ (pericarp) เพอริคาร์พมีสีแตกต่างกัน เกิดจากสารแอนโกลิไซดิน (anthocyanin) และแครอทินอยด์ ซึ่งสามารถถ่ายทอดได้ทางพันธุกรรม ชั้นถัดไปคือชั้นกระลา (endocarp หรือ shell) ชั้นนี้มีลักษณะแข็ง เนื้อในมีสีขาวเรียกว่า เคอร์แนล (kernel) ในชั้นนี้มีน้ำมันปาล์มสะสมอยู่ เช่นกัน น้ำมันที่สกัดได้จากชั้นเคอร์แนลเรียกว่า น้ำมันเมล็ดปาล์ม (kernel palm oil)



รูปที่ 3 ลักษณะต่างๆของผลปาล์มน้ำมัน
(<http://www.oils-vegetable.com/palmoil.htm>)

1.3.6 การจำแนกพันธุ์ปาล์มน้ำมัน

การจำแนกพันธุ์ปาล์มน้ำมันอาศัยลักษณะต่างๆ ของผลได้แก่ ลักษณะกะลา กดีบหุ้ม ผล สีของผลก่อน孰ร ปริมาณน้ำมันในชั้นเนื้อปาล์ม จากลักษณะดังกล่าว สามารถแยกปาล์มน้ำมันออกเป็น 4 พันธุ์ ดังนี้ (รูปที่ 4) (ศิริรัช นามีวัฒนะ, 2532; Hartley, 1977 ข้างจาก พรชัย เหลืองอาภาพงศ์)

1.3.6.1 มาโคราภาร์ยา (Macrocarya)

เป็นพันธุ์ที่มีลักษณะกะลาหนา โดยกะลาหนาประมาณ 4-8.5 มิลลิเมตร หรือ 50% ของน้ำหนักผลทั้งหมด ชั้นเพอริคาร์พ (ชั้นเปลือกและชั้นเนื้อปาล์ม) มีความหนา 0.75-2.5 มิลลิเมตร ชั้นเนื้อปาล์มบางและมีปริมาณน้ำมันต่ำ จึงเป็นพันธุ์ที่ไม่เหมาะสมในการเพาะปลูกเพื่อการค้า

1.3.6.2 ดูรา (Dura)

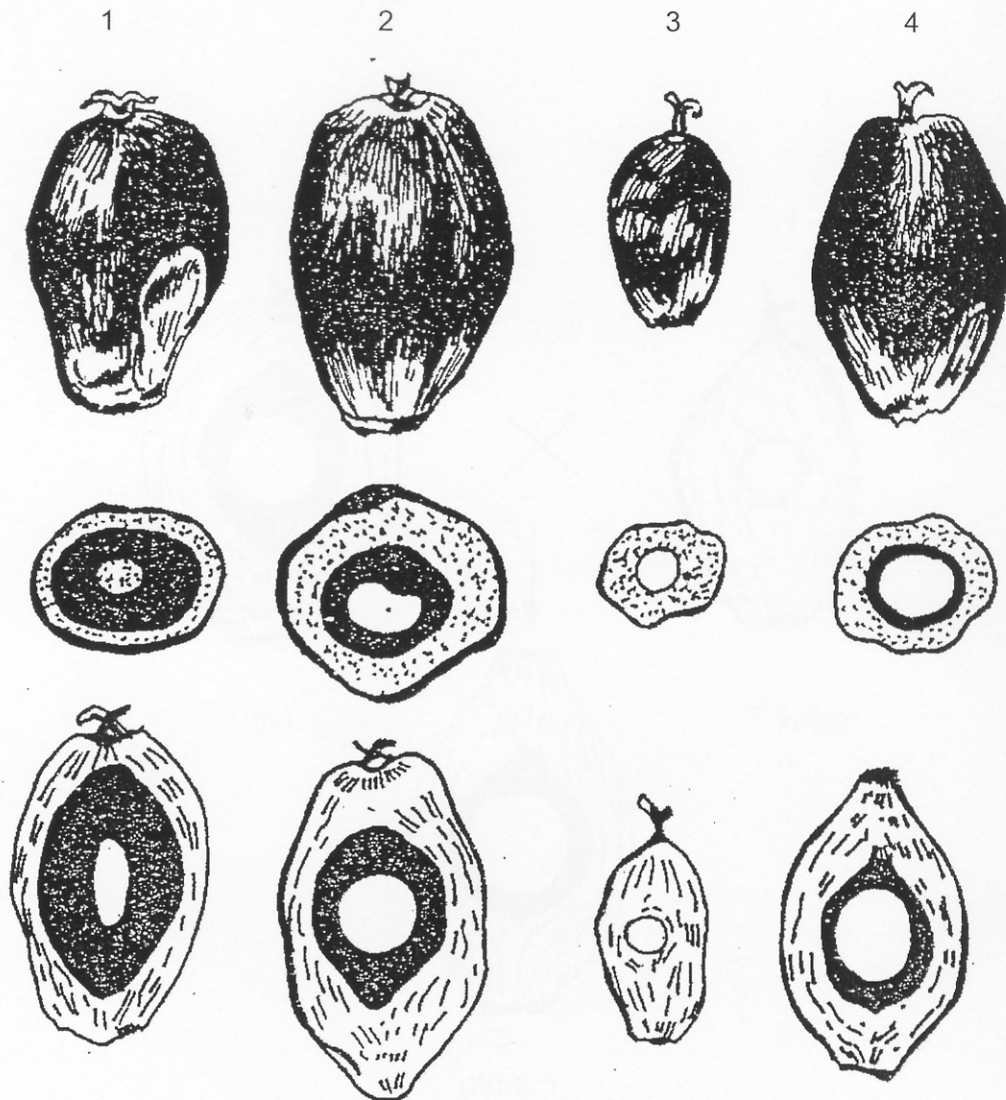
เป็นพันธุ์ที่มีลักษณะต่างๆ ดีกว่าพันธุ์มาโคราภาร์ยา พันธุ์ดูราพบมากในแถบตะวันออก ซึ่งมักเรียกว่า เเดลี ดูรา (Deli Dura) มีกะลาหนาปานกลางประมาณ 2-8 มิลลิเมตร ชั้นเพอริคาร์พหนา 2-6 มิลลิเมตร เครื่องเนล้มีขนาดใหญ่ ชั้นเนื้อปาล์มประมาณ 35-60% ของน้ำหนักผลปาล์มทั้งหมด และให้น้ำมันปาล์มต่อหécตาระบบประมาณ 18-19.5% ปัจจุบันพันธุ์ดูราใช้เป็นแม่พันธุ์สำหรับผลิตพันธุ์ดูราผสมเทเนอรา

1.3.6.3 พิสิเฟอรา (Pisifera)

เป็นพันธุ์ที่มีกะลาบางมาก ชั้นเพอริคาร์พหนาประมาณ 5-10 มิลลิเมตร เปลือกนอกหนากว่าพันธุ์ดูรา เมล็ดในเล็ก มีข้อเสียคือขนาดของผลเล็ก ข้อด้อยตัวเมียมักเป็นหมัน และมีการผลิตหะลายปาล์มน้ำมันต่อตันจำนวนต่ำ ดังนั้นจึงไม่เหมาะสมที่ใช้ปลูกเป็นการค้า ปัจจุบันพันธุ์พิสิเฟอราใช้เป็นพ่อพันธุ์ในการผลิตพันธุ์ดูราผสมเทเนอรา

1.3.6.4 เทเนอรา (Tenera)

เป็นพันธุ์ดูราผสมระหว่างดูรา กับ พิสิเฟอรา โดยใช้พันธุ์ดูราเป็นแม่พันธุ์ และพิสิเฟอราเป็นพ่อพันธุ์ (รูปที่ 5) จึงเป็นพันธุ์ที่รวมคุณสมบัติเด่นของดูราและพิสิเฟอราเข้าด้วยกัน พันธุ์เทเนอรา มีกะลาบางประมาณ 0.5-4 มิลลิเมตร หรือประมาณ 10% ของน้ำหนักผล มีเส้นใยรอบเมล็ด ชั้นเพอริคาร์พหนา 3-10 มิลลิเมตร ชั้นเนื้อปาล์มหนามากประมาณ 60-96% ของน้ำหนักผล และให้น้ำมันประมาณ 22-25% เนื่องจากพันธุ์เทเนอรามีคุณสมบัติที่ดีหลายประการ จึงนิยมปลูกเพื่อการค้า



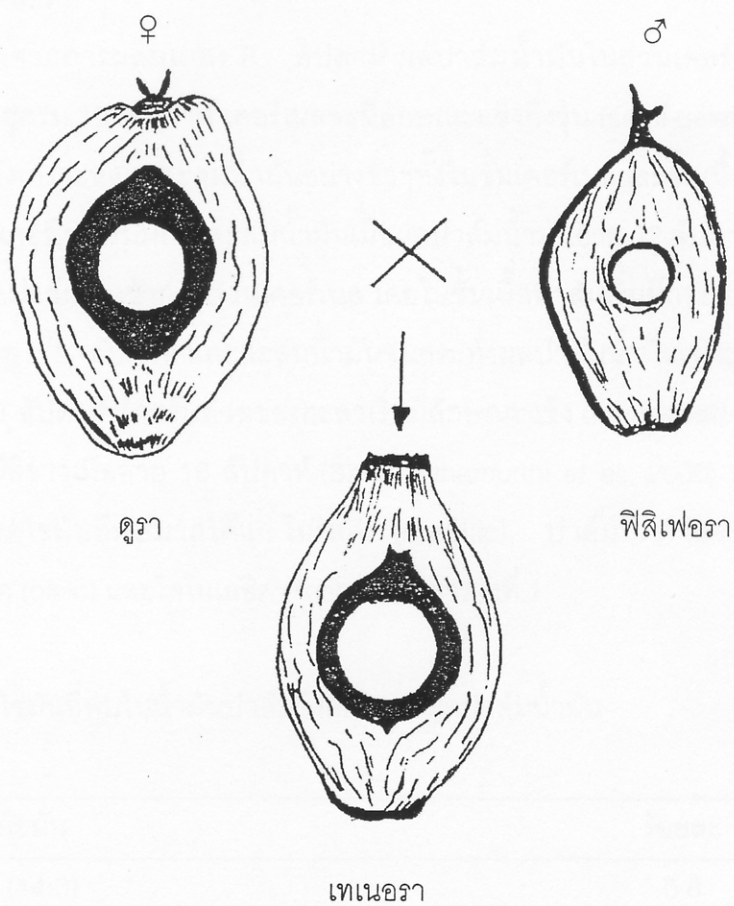
รูปที่ 4 ลักษณะของผลปาล์มน้ำมันสายพันธุ์ต่างๆ (พวชัย เหลืองอาภาพงศ์, 2523)

1 = มาโคราจิยา

2 = ดูรา

3 = พิสิเพอรา

4 = เทเนอรา



รูปที่ 5 ลักษณะผลปาล์มน้ำมันสายพันธุ์เทเนอร่าที่ได้จากการผสมระหว่างสายพันธุ์ดูรา กับ พิสิเพอรา (พรชัย เหลืองอาภาพงศ์, 2523)

1.3.7 การพัฒนาของผลและการสะสมน้ำมันในผลปาล์มน้ำมัน

การพัฒนาของผลปาล์มน้ำมันเริ่มขึ้นหลังจากการผสมเกสร 2 สัปดาห์ และมีการเจริญเติบโตจนสุกเต็มที่หลังจากได้รับการผสมเกสรประมาณ 5-6 เดือน ซึ่งระยะเวลาการสุกของผลปาล์มน้ำมันอาจแตกต่างกันขึ้นกับปริมาณน้ำฝนหรือความชื้นในอากาศ พบรากผลปาล์มน้ำมันที่เจริญเติบโตในสภาพแวดล้อม ทำให้ซึ่งเวลาการสุกซึ่งก่อว่าผลปาล์มน้ำมันที่เจริญเติบโตในสภาพฟุตบาทสามารถอุดปี

หลังจากการผสมเกสร 8 สัปดาห์ ผลปาล์มน้ำมันในสวนเครอร์เนล มีสภาพเป็นของเหลว เมื่ออายุครบ 10 สัปดาห์ เครอร์เนลจะมีลักษณะแข็งกรอบ (semi-gelatinous) ผลปาล์มน้ำมันเริ่มมีการสั่งเคราะห์และสะสมน้ำมันอย่างต่อเนื่องในชั้นเครอร์เนลและชั้นเนื้อปาล์ม (Bora et al., 2003) ในชั้นเครอร์เนลเริ่มมีการสะสมน้ำมันเมื่อผลปาล์มน้ำมันอายุ 12 สัปดาห์ ส่วนการสะสมน้ำมันของชั้นเนื้อปาล์มเกิดช้ากว่าสวนเครอร์เนล โดยในชั้นเนื้อปาล์มเริ่มมีการสะสมน้ำมันเมื่อผลปาล์มน้ำมันมีอายุ 15 สัปดาห์ และสะสมน้ำมันจนกระทั่งผลปาล์มน้ำมันเจริญเติบโตเต็มที่ซึ่งมีอายุประมาณ 20 สัปดาห์ สำหรับส่วนของกะลาเริ่มมีลักษณะแข็ง (hard shell) และปิดล้อมส่วนของเครอร์เนลซึ่งมีลักษณะเมื่ออายุ 16 สัปดาห์ (Sambanthamurthi et al., 2000) น้ำมันที่ได้จากผลปาล์มน้ำมันมีกรดไขมันที่พบมากได้แก่ ไมริสติก (myristic), ปาล์มมิติก (palmitic), สเตียริก (stearic), โอลีอิค (oleic) และไลโนเลอิค (linoleic) ดังตารางที่ 1

ตารางที่ 1 กรดไขมันที่พบในน้ำมันปาล์มซึ่งสกัดจากผลปาล์มน้ำมัน

ชนิดกรดไขมัน	ร้อยละ
myristic (14:0)	0.8
palmitic (16:0)	42.0
stearic (18:0)	5.1
oleic (18:1)	42.0
linoleic (18:2)	10.0

ที่มา : Kritchevsky et al., 2002

1.3.8 รังควัตถุในผลปาล์มน้ำมัน

ผลปาล์มน้ำมันมีรังควัตถุที่พบมากได้แก่ คลอโรฟิลล์ (chlorophylls) และแครอทีนอยด์ รังควัตถุทั้งสองชนิดนี้มีความสัมพันธ์กับระบบที่ใช้ในการสุกรของผลปาล์มน้ำมัน โดยในผลปาล์มน้ำมัน ที่มีอายุน้อยจะมีปริมาณคลอโรฟิลล์มากและมีปริมาณแครอทีนอยด์น้อยกว่าในผลปาล์มน้ำมันสุก (Sambanthamurthi et al., 2000)

1.3.8.1 คลอโรฟิลล์

จากการตรวจสอบสารสกัดหยาบน้ำมันปาล์ม (crude palm oil) โดย Ikemefuna และ Adamson ในปี 1984 พบว่าปริมาณคลอโรฟิลล์ และแครอทีนอยด์ในผลปาล์มน้ำมัน (*E. guineensis*) มีการเปลี่ยนแปลงตามระยะเวลาพัฒนาของผลและได้แสดงให้เห็นว่า คลอโรฟิลล์ยังคงมีในผลปาล์มน้ำมันที่สุกเต็มที่ทั้งในสายพันธุ์เทเนอร่าและดูรา แต่ปริมาณ คลอโรฟิลล์จะต่ำกว่าปริมาณแครอทีนอยด์มาก ชนิดของคลอโรฟิลล์ที่พบคือ คลอโรฟิลล์*a* และ คลอโรฟิลล์*b* ซึ่งพบในปริมาณที่แตกต่างกัน โดยคลอโรฟิลล์*a* และคลอโรฟิลล์*b*พบมากในผลอ่อน ของปาล์มน้ำมัน แต่เมื่อผลปาล์มน้ำมันเจริญเติบโตจนสุกเต็มที่ปริมาณคลอโรฟิลล์*a* จะลดลง 80-90% และปริมาณคลอโรฟิลล์*b* จะลดลง 50-70% ดังตารางที่ 2 (Ikemefuna and Adamson, 1984)

1.3.8.2 แครอทีนอยด์

จากการตรวจสอบสารสกัดหยาบน้ำมันปาล์มพบว่ามีรังควัตถุประเภท แครอทีนอยด์ ซึ่งมีสีส้มถึงสีแดงจำนวนมาก แครอทีนอยด์ที่พบมีนล่ายานิดตัวยกัน เช่น lycopene β -carotene α -carotene phytoene cis- α -carotene เป็นต้น (Ikemefuna et al., 2000; Kruthevsky et al., 2002; Sambanthamurthi et al., 2000) แครอทีนอยด์ที่พบแต่ละชนิดมี ปริมาณแตกต่างกัน แสดงดังตารางที่ 3 (Sambanthamurthi et al., 2000) แครอทีนอยด์หลักที่พบ คือ β -carotene และ α -carotene โดยพบมากถึง 56.02% และ 35.16% ตามลำดับ จะเห็นได้ว่า ในปาล์มน้ำมันมีแครอทีนอยด์ ชนิด β -carotene ในปริมาณมากสุด ซึ่ง β -carotene เป็นสารตั้งต้น ในกระบวนการสร้างเคราะห์วิตามินเอ (vitamin A) ดังนั้นในปัจจุบันจึงเรียก β -carotene ว่าเป็น โปรวิตามินเอ (provitamin A) (Choo, 1994; Herbers, 2003) เมื่อเอนไซม์เทียน β -carotene จาก ปาล์มน้ำมันกับพืชชนิดอื่นพบว่า ปาล์มน้ำมันมี β -carotene มากกว่าแครอท 15 เท่า และมากกว่า มะเขือเทศถึง 300 เท่า (Choo, 1994) ดังนั้นปาล์มน้ำมันจึงเป็นแหล่งที่สำคัญของวิตามินเอ

ตารางที่ 2 ปริมาณคลอโรฟิลล์ (mg/kg) ในผลปาล์มน้ำมันชนิด *E. guineensis* ระยะต่างๆ

Pigment	Tenera			Dura		
	Young	Mature	Ripe	Young	Mature	Ripe
	1-2 months	3-4 months	5-6 months	1-2 months	3-4 months	5-6 months
Chlorophyll a						
Mean	28.9	20.7	4.3	26.5	22.7	2.4
Range	12-48	3-34	0.3-7.3	13-54	16-34	0.7-3.7
Chlorophyll b						
Mean	18.6	15.3	7.3	19	11.8	4.6
Range	8-33	3-20	0.3-13	14-35	5-17	1.3-7.2

ที่มา : Ikemefuna and Adamson, 1984

ตารางที่ 3 แคโรทีนอยด์ที่พบในน้ำมันปาล์มน้ำมันชนิด *E. guineensis*

Carotenoids isomer	ร้อยละ
β-carotene	56.02
α-carotene	35.16
Cis-α-carotene	2.49
Lycopene	1.30
Phytoene	1.27
δ-carotene	0.83
β-zeacarotene	0.74
ζ-carotene	0.69
Cis-β-carotene	0.68
γ-carotene	0.33
Neurosporene	0.29
α-zeacarotene	0.23

ที่มา : Sambanthamurthi et al., 2002

1.4 การสังเคราะห์สารในกลุ่มไอโซพรีโนยด์ (Isoprenoids)

ไอโซพรีโนยด์ เป็นสารประกอบกลุ่มใหญ่ในธรรมชาติที่พบได้ในสิ่งมีชีวิตทุกชนิด ปัจจุบัน พบว่าสารประกอบกลุ่มนี้มีมากกว่า 30,000 ชนิด (Sacchettini and Poulter, 1997; Lange et al., 2000; Dewick, 2002) โดยเกิดจากการสังเคราะห์ผ่านสารตั้งต้นคือ isopentenyl diphosphate และ dimethylallyl diphosphate (Lichtenthaler, 2000) เดิมเชื่อว่า isopentenyl diphosphate และ dimethylallyl diphosphate ในเซลล์ของสิ่งมีชีวิตทุกชนิดสังเคราะห์ผ่านวิถี acetate/mevalonate (MVA pathway) บริเวณไซโทพลาสมเมท่านั้น (Goldstein and Brown, 1990) แต่ เมื่อไม่นานนี้หลังจากนักวิจัยศึกษาวิธีการสังเคราะห์สารกลุ่มไอโซพรีโนยด์ ในแบคทีเรีย *Zymomonas mobilis*, *Methylobacterium fujisawaense*, *Alicyclobacillus acidoterrestris* และ *Escherichia coli* (Rohmer et al., 1993; Campos et al., 2001) และในสาหร่ายสีเขียว *Scenedesmus obliquus* (Schwender et al., 1996) *Chlorella fusca* และ *Chlamydomonas reinhardtii* (Disch et al., 1998) ทำให้ค้นพบวิถีใหม่สำหรับการสังเคราะห์สารในกลุ่มไอโซพรีโนยด์ โดยไม่ผ่านสารตัวกลางคือ mevalonate และเรียกวิถีดังกล่าวว่า non-mevalonate หรือ 2-C-methyl-D-erythritol-4-phosphate (MEP pathway)

หลังจากมีการค้นพบวิถี MEP ในแบคทีเรียและสาหร่ายสีเขียวประกอบกับมีการค้นพบว่า mevinolin สามารถยับยั้งการสังเคราะห์ mevalonate และ sterol ซึ่งเป็นสารในกลุ่มไอโซพรีโนยด์ ที่สังเคราะห์ผ่านวิถี MVA แต่ไม่มีผลต่อการสังเคราะห์คลอโรฟิลล์ และแครอทินอยด์รวมทั้ง plastoquinone-9 ในพลาสติดของพืชที่มีท่อลำเลียง (vascular plant) (Rohmer, 1999a) นักวิจัย จึงได้ติดตามการสังเคราะห์ไอโซพรีโนยด์ในคลอโรพลาสต์โดยตรง ด้วยการติดฉลากสารรังสีคือ ¹³C ให้กับ glucose และ acetate ทำให้สามารถสรุปได้ว่าสารในกลุ่มไอโซพรีโนยด์ สามารถ สังเคราะห์ได้ทั้ง 2 วิถี คือ MVA และ MEP

1.4.1 วิถี acetate/mevalonate (MVA pathway)

วิถี MVA เกิดในไซโทพลาสมเมของเซลล์พืช สัตว์ ยีสต์ และเชื้อรา จากการรวมตัวกัน ของ acetyl CoA 2 โมเลกุล ได้เป็น acetoacetyl CoA (ACC) โดยเอนไซม์ acetyl CoA thiolase (ACC thiolase) จากนั้นจึงรวมตัวกับ acetyl CoA ได้เป็น 3-hydroxy-3-methylglutaryl-CoA (HMG-CoA) โดยเอนไซม์ 3-hydroxy-3-methylglutaryl-CoA synthase (HMG-CoA synthase) และเปลี่ยนเป็น mevalonate (MVA) โดยเอนไซม์ 3-hydroxy-3-methylglutaryl-CoA synthase reductase (HMGR) ซึ่งเอนไซม์หลักในการควบคุมปฏิกิริยาของวิถีนี้ จากนั้นจึงผ่านกระบวนการ อีกหลายขั้นตอนจนได้ isopentenyl diphosphate และ dimethylallyl diphosphate ซึ่งเป็นสารตั้ง

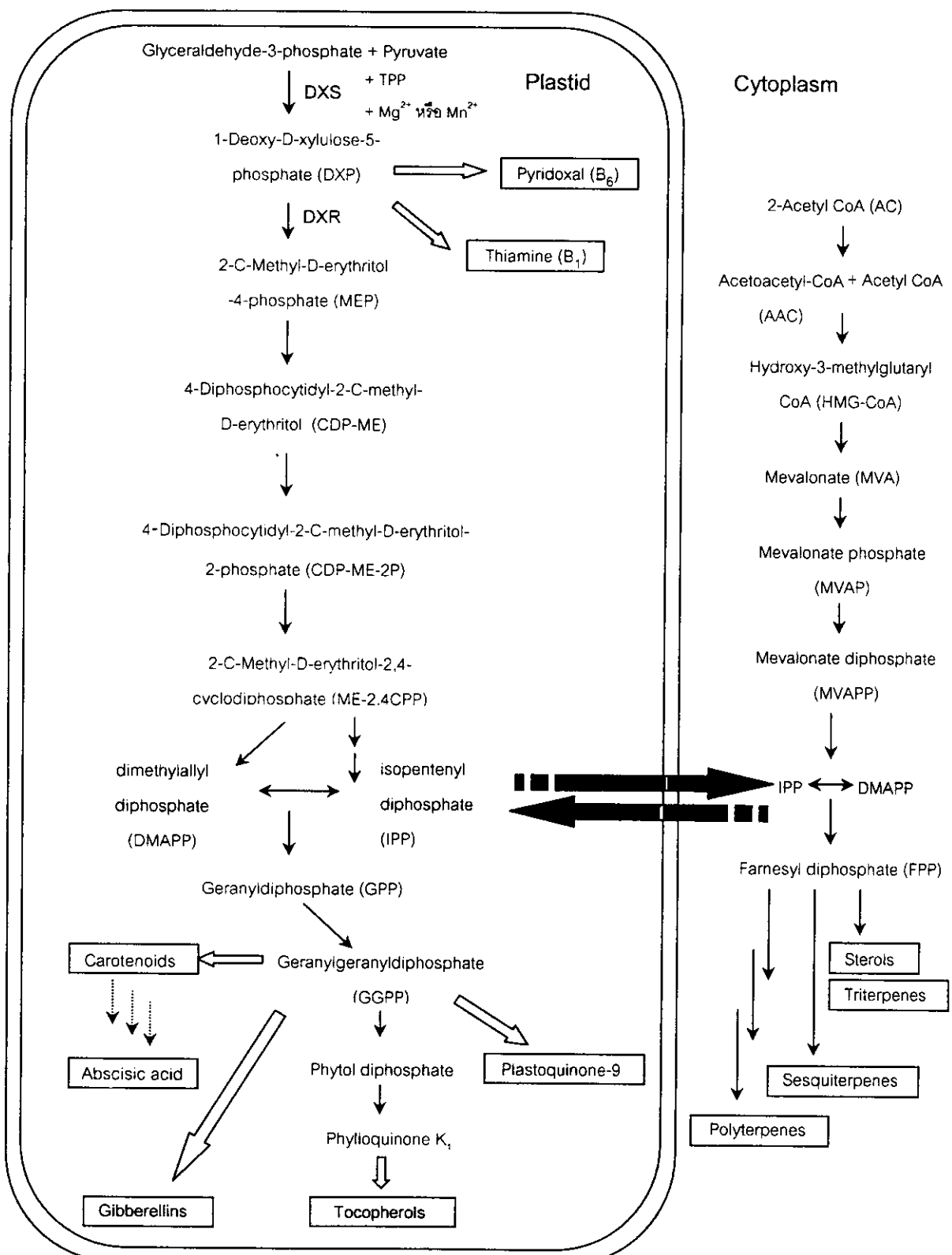
ต้นสำหรับการสังเคราะห์ไอโซพรีโนยด์ แสดงตั้งรูปที่ 6 (ดัดแปลงจาก Estevez et al., 2001; Moehs et al., 2001; Rodriguez-Concepcion et al., 2001; Bick and Lange., 2003; Dubey et al., 2003) ในพืชวิถีสังเคราะห์ไอโซพรีโนยด์หลักคือ sterols, sesquiterpenes และ ubiquinones (Wanke et al., 2001, Dubey et al., 2003)

1.4.2 วิถี non-mevalonate หรือ 2-C-methyl-D-erythritol-4-phosphate (MEP pathway)

วิถี MEP เกิดในโปรตอซัว แบคทีเรียและสาหร่าย และพลาสติดของพืชชั้นสูง (Lichtenthaler et al., 1997; Dixon, 1999; Rohmer, 1999b) ปฏิกิริยาขั้นแรกของวิถี MEP เกิดจากการรวมตัวกันของ pyruvate กับ glyceraldehyde-3-phosphate (G3P) ได้เป็น 1-deoxy-D-xylulose-5-phosphate (DXP) โดยเอนไซม์ 1-deoxy-D-xylulose-5-phosphate synthase (DXS) ซึ่งเป็นเอนไซม์หลักในการควบคุมปฏิกิริยาของวิถีนี้ (Estevez et al., 2001; Affek and Yakir, 2003) และในการทำงานของเอนไซม์ DXS ต้องการโคเอนไซม์คือ Thiamine diphosphate (TPP) จากนั้นจึงเปลี่ยนเป็น 2-C-methyl-D-erythritol-4-phosphate (MEP) โดยเอนไซม์ 1-deoxy-D-xylulose-5-phosphate reductoisomerase (DXR) และผ่านกระบวนการอีกหลายขั้นตอนจนได้ isopentenyl diphosphate และ dimethylallyl diphosphate ซึ่งเป็นสารตั้งต้นสำหรับการสังเคราะห์ไอโซพรีโนยด์ (Eisenreich et al., 2001; Rohdich et al., 2001; Takagi et al., 2000) ตัวอย่างของไอโซพรีโนยด์ในพืชที่สังเคราะห์ผ่านวิถี MEP เช่น แครอทินอยด์ คลอโรฟิลล์, α -tocopherol (vitamin E), thiamine (vitamin B₁), pyridoxol (vitamin B₆), abscisic acid (ABA), plastoquinone-9 และ gibberellins (GA) เป็นต้น (Estevez et al., 2001)

1.4.2.1 การศึกษาวิถี MEP ในprocaryotes (prokaryotes)

หลังจากมีการค้นพบวิถี MEP ในแบคทีเรียซึ่งเป็นสิ่งมีชีวิตกลุ่มprocaryotes นักวิทยาศาสตร์จึงได้ศึกษาการสังเคราะห์ไอโซพรีโนยด์ในแบคทีเรียชนิดอื่นเพิ่มเติม ทำให้พบว่าวิถี MEP พบรูปได้ทั้งในแบคทีเรียแกรมลบ (gram-negative strain) และแบคทีเรียแกรมบวก (gram-positive strain) โดยตัวอย่างของแบคทีเรียแกรมลบที่สังเคราะห์ไอโซพรีโนยด์ผ่านวิถี MEP เช่น *Citrobacter freundii*, *E. coli*, *Salmonella typhimurium*, *Erwinia carotovora*, *Pseudomonas aeruginosa*, *P. fluorescens*, *Burkholderia caryophylli*, *B. gladioli*, *Acinetobacter calcoaceticus* (Rosa Putra et al., 1998) และ *Synechocystis* sp. (Disch et al., 1998; Proteau, 1998) ตัวอย่างแบคทีเรียแกรมบวกที่สังเคราะห์ไอโซพรีโนยด์ผ่านวิถี MEP เช่น *Mycobacterium phlei*, *M. amegmatis* (Rosa Putra et al., 1998) และ *Streptomyces*



รูปที่ 6 วิถี acetate/mevalonate ที่ไปพลาสติก และ 2-C-methyl-D-erythritol-4-phosphate ที่พลาสติด (ดัดแปลงจาก Estevez *et al.*, 2001; Moehs *et al.*, 2001; Rodriguez-Concepcion *et al.*, 2001; Bick and Lange, 2003; Dubey *et al.*, 2003)

griseolosporeus (Hamano et al., 2002), *S. exfoliatus* (Orihara et al., 1997), *S. niveus* (Orihara et al., 1998), *S. sphaeroides* (Li et al., 1998), *S. ghanaensis* (Endler et al., 1998) และ *S. blastmyceticum* (Irie et al., 1998) แต่ในแบคทีเรียบางชนิดสามารถสังเคราะห์สารกลุ่มไอโซพรีโนยดได้โดยผ่านพัฒนาระบบ MEP และวิถี MVA แต่การสังเคราะห์ดังกล่าวเกิดขึ้นไม่พร้อมกัน เช่น *Streptomyces aeriouvifer* จะมีการสร้างสาย prenyl ของ tetrahydromena quinone ผ่านวิถี MEP ในขณะที่มีอัตราการแบ่งเซลล์อย่างรวดเร็ว (exponential growth phase) แต่มีการสร้างสาย monoterpene ของ nephterpin ขณะเจริญอยู่ในระยะที่อัตราการเจริญเติบโตเท่ากับอัตราการตาย (stationary growth phase) (Seto et al., 1996) เช่นเดียวกับ *Actinoplanus* sp. ที่มีการสร้างสาย prenyl ของ tetrahydromenaquinone-9 ผ่านวิถี MEP ขณะเจริญในระยะที่มีการแบ่งเซลล์อย่างรวดเร็ว และมีการสร้างสาย monoterpene เพื่อเข้ามีส่วนร่วมกับ benzoquinone antibiotic BE-40644 ผ่านวิถี MVA ขณะที่มีอัตราการเจริญเติบโตเท่ากับอัตราการตาย (Seto et al., 1998)

ปัจจุบันพบการสังเคราะห์ไอโซพรีโนยดโดยผ่านวิถี MEP อย่างกว้างขวางทั้งในแบคทีเรียที่ก่อโรค (pathogenic bacteria) และแบคทีเรียที่ไม่ก่อให้เกิดโรค (non-pathogenic bacteria) ดังนั้นนักวิทยาศาสตร์จึงใช้วิถี MEP ใน การศึกษาเกี่ยวกับเชื้อแบคทีเรียที่ก่อให้เกิดโรค ในมนุษย์ รวมถึงการใช้เอนไซม์ที่เกี่ยวข้องในวิถี MEP สำหรับเป็นเป้าหมายใหม่ในการออกแบบยาปฏิชีวนะ (antibacterial drugs) เพื่อให้สามารถต่อต้านเชื้อแบคทีเรียที่ก่อโรค (Lichtenthaler et al., 2000; Lichtenthaler, 2000; Mueller et al., 2000)

1.4.2.2 การศึกษาวิถี MEP ในยูคารีโอท (eukaryotes)

หลังจากมีการค้นพบวิถี MEP ในสาหร่ายสีเขียว *S. obliquus*, *C. fusca* และ *C. reinhardtii* นักวิทยาศาสตร์จึงได้ศึกษาการสังเคราะห์ไอโซพรีโนยดในสาหร่ายชนิดอื่นเพิ่มเติม เช่น สาหร่ายสีแดง *Cyanidium caldariu*, สาหร่ายสีน้ำตาล *Ochromonas danica* และสาหร่ายสีเขียวแกมน้ำเงิน *Euglena gracilis* (Disch et al., 1998) ทำให้พบว่าสาหร่ายสังเคราะห์สารในกลุ่มไอโซพรีโนยด เช่น phytol, β -carotene, lutein, plastoquinone-9 ผ่านวิถี MEP ในพลาสติด แต่มีการสังเคราะห์ sterols ในไซโทพลาสซึมและ ubiquinones ในใบโคลนเดรีย โดยผ่านวิถี MVA (Schwender et al., 1996; Disch et al., 1998)

ในพืชขั้นสูงได้มีการศึกษาวิถี MEP ครัวเรgar จากคัพภา (embryo) ของ ginkgo (*Ginkgo biloba*) โดยการติดฉลากสารรังสีคือ ^{13}C ให้กับ glucose เพื่อติดตามการสังเคราะห์ ginkgolide และ bilobalide ซึ่งเป็นไอโซพรีโนยดในกลุ่ม diterpene และเมื่อใช้ deuterium (^2H) ในการติดตามการสังเคราะห์ไอโซพรีโนยดใน willow (*Salix cinerea*), poplar

(*Populus nigra*) และ celandine (*Chelidonium majus*) โดยนำใบหรือลำต้นมาบ่มด้วย methyl deoxyxyluloside ที่ติดคลากด้วย deuterium พบว่าในพืชดังกล่าวมีการสังเคราะห์ isoprene ได้โดยผ่านวิถี MEP (Zeidler et al., 1997) เมื่อให้ deuterium ติดคลากให้กับ 1-deoxy-D-xylulose พบว่ามีการสังเคราะห์ไอโซพรีโนyd ในกลุ่ม monoterpenes และ sesquiterpenes ซึ่งเป็นอนุพันธ์ที่สำคัญจากวิถี MEP ในใบของ lima bean (*Phaseolus lunatus*) และดอกของต้น *Eucalyptus globules*, *Clematis vitalba*, *Hedera helix*, *Passiflora coerulea* และ *Callicarpa japonica* นอกจากนี้ยังมีการศึกษาการสังเคราะห์ไอโซพรีโนyd ในพืชเพิ่มเติมอีกมากmany เช่น การสังเคราะห์ monoterpenes ใน *Pelargonium graveolens*, *Mentha x piperita*, *Mentha pulegium*, *Thymus vulgaris* (Eisenreich et al., 1997), *Conocephalum conicum* และ *Ricciocarpus natans* การสังเคราะห์ sesquiterpenes ในรากของข้าวบาร์เลีย (Maier et al., 1998) และในดอก chamomile (*Matricaria recutita*) (Adam et al., 1998) การสังเคราะห์ diterpenes ในเซลล์ เพาะเดี่ยวของ liverworts (*Heteroscyphus planus*) (Nabeta et al., 1998), *Salvia miltiorrhiza*, *Taxus chinensis* (Eisenreich et al., 1996) และ *Marrubium vulgare* (Knoss et al., 1997) รวมถึงการสังเคราะห์ alkaloids เช่น ajmalicine, tabersonine และ lochnericine ในรากของ *Catharanthus roseus* (Hong et al., 2003)

จากข้อมูลในการศึกษาการสังเคราะห์ isoprenoids ปัจจุบันสรุปได้ว่า การสังเคราะห์ไอโซเพรนอยด์ผ่านวิถี MEP เกิดขึ้นในพลาสติดของพืช เช่นเดียวกับในไซโทพลาสซิม procaryotes และจากหลักฐานการค้นพบว่า procaryotes เช่นแบคทีเรียที่สังเคราะห์แสงได้ (photosynthetic bacteria) มีส่วน phytol ของคลอโรฟิลล์อี สังเคราะห์ผ่านวิถี MEP เช่นเดียวกับในคลอโรพลาสต์ของพืชชั้นสูง จึงสนับสนุนทฤษฎีที่ว่า คลอโรพลาสต์มีบรรพบุรุษเป็น procaryotes ที่สามารถสังเคราะห์แสงได้ (photosynthetic prokaryotes ancestors) โดยได้มีการอยู่ร่วมกัน (endosymbioses) กับบรรพบุรุษของเซลล์ยูคาร์บิโอดและมีวิวัฒนาการร่วมกัน (coevolution) ในระหว่างที่บรรพบุรุษของเซลล์ยูคาร์บิโอดมีการพัฒนาเป็นเซลล์พืชในปัจจุบัน (eukaryotic plant cells) (Lichtenthaler et al., 2000; Rohmer, 1999b)

1.4.2.3 การศึกษาใน DXS สำหรับเอนไซม์ DXS จากวิถี MEP

Bouvier และคณะ (1998) ศึกษา CapTKT2 (dxs) จากผลพิธิกายวัสดุสายพันธุ์ Yolo Wonder (*Capsicum annuum* L. cv. Yolo Wonder) พบว่า基因 CapTKT2 มีลำดับนิวคลีโอไทด์ยาว 2,157 คู่เบสแลปเป็นลำดับกรดอะมิโนสำหรับเอนไซม์ DXS ยาว 719 กรดอะมิโน

มีความเหมือนกับ *Arabidopsis*, สน, ข้าว และมะเขือ ประมาณ 80%, *Synechocystis* และ *E. coli* 45.6%, *Rhodobacter* 54.4%

Lange และคณะ (1998) โคลนยืน *dxs* จากต่อมน้ำมันบริเวณผิวใบของ peppermint (*Mentha x piperita*) พบว่าลำดับนิวคลีโอไทด์ของ peppermint 2,172 คู่เบส สามารถแปลเป็นกรดอะมิโนของเอนไซม์ DDXS ได้ 726 กรดอะมิโน น้ำหนักโมเลกุล 71 กิโลดالتัน มีความยาวของเปปไทด์ที่นำเอนไซม์เข้าสู่คลอโรพลาสต์ 70 กรดอะมิโน ดังนั้นเอนไซม์ DDXS ที่สมบูรณ์จะมีความยาวของเปปไทด์ประมาณ 650 กรดอะมิโน ซึ่งมีความใกล้เคียงกับ *A. thaliana*, *R. capsulata*, *E. coli*, *Synechocystis* sp. PC6803 77, 56, 48 และ 45% ตามลำดับ รวมถึงมี ลำดับของกรดอะมิโนที่เป็นตำแหน่งใหม่ในการจับของ thiamine diphosphate คือ GDG(A/S)XT (A/G)G(Q/M)AXEAXN(N/H)AG(X)₇₋₈(I/V)(V/I)LNDN แตกต่างจากเดิมที่เป็น GDG(X)₇₋₈E(X)₃₋₄A (X)₁₁₋₁₃NN ซึ่งศึกษาไว้โดย Hawkins และคณะในปี 1989

Bramley และ Harker (1999) โคลนยืน *dxs* จาก *Synechocystis* sp. PC6803 และ *Bacillus subtilis* พบว่าลำดับนิวคลีโอไทด์ของยืน *dxs* ใน *Synechocystis* sp. PC6803 มีจำนวน 1,920 คู่เบส แปลเป็นกรดอะมิโนสำหรับเอนไซม์ DDXS ได้ 640 กรดอะมิโน น้ำหนักโมเลกุล 69 กิโลดالتัน และ *B. subtilis* มีลำดับนิวคลีโอไทด์ 1,899 คู่เบส แปลเป็นรหัส สำหรับเอนไซม์ DDXS ได้ 633 กรดอะมิโน น้ำหนักโมเลกุล 70 กิโลดالتัน เมื่อเปรียบเทียบลำดับ กรดอะมิโนของเอนไซม์ DDXS จาก *Synechocystis* sp. PC6803 และ *B. subtilis* กับ *E. coli* พบว่ามีความเหมือนของลำดับกรดอะมิโน 44 และ 47% ตามลำดับ

Miller และคณะ (1999) โคลนยืน *dxs* จาก *cyanobacterium* คือ *Synechococcus leopoliensis* SAUG 1402-1 หรือ *Anacystis nidulans* พบลำดับนิวคลีโอไทด์ ที่เป็นรหัสของเอนไซม์ DDXS ยาว 1,085 คู่เบส ซึ่งมีความเหมือนกับ *E. coli* 51.3%

Chahed และคณะ (2000) ทำการเพาะเลี้ยงเซลล์แขวนลอยของ periwinkle (*C. roseus*) เพื่อใช้ในการโคลนยืน *dxs* และจากการโคลนยืนดังกล่าว พบว่าลำดับ นิวคลีโอไทด์ของ periwinkle สามารถแปลเป็นกรดอะมิโนของเอนไซม์ DDXS ได้ 716 กรดอะมิโน มี น้ำหนักโมเลกุล 76.787 กิโลดالتัน โดยลำดับของกรดอะมิโนใกล้เคียงกับ *Mentha x piperita* มากที่สุดคือ 78% และใกล้เคียงกับ *L. esculentum*, *A. thaliana*, *C. annuum* 72-74% และมี ความยาวของเปปไทด์ที่นำเอนไซม์เข้าสู่คลอโรพลาสต์ 70 กรดอะมิโน รวมถึงมีลำดับของกรด อะมิโนที่เป็นตำแหน่งในการจับของ thiamine diphosphate คือ DGAMTAGQAYEAMNNAGFL DANLIVWLNDN

Kuzuyama และคณะ (2000) โคลนยืน dxs จาก *Synechocystis* sp. Strain CL190 พบลำดับนิวคลีโอไทด์ของยืน dxs 1,896 คู่เบส แปลเป็นรหัสของกรดอะมิโนสำหรับเอนไซม์ DXS ได้ 631 กรดอะมิโน เมื่อนำยืนที่โคลนได้มาเข้ามกับ expression vector คือ pQE30 เพื่อให้มีการสังเคราะห์เอนไซม์ DXS ใน *E. coli* แล้วนำเอนไซม์ที่สังเคราะห์ได้มาทำบิสตูท์ พบว่าจากการทำไฟลิอัคิวไลไมด์เจลอิเล็กโทรโฟรีซแบบมี SDS (sodium dodecyl sulphate-polyacrylamide gel electrophoresis; SDS-PAGE) และเจลฟิลเตอร์ชัน โครงมาโตกราฟี (gel filtration chromatography) เอนไซม์ DXS มีน้ำหนักโมเลกุล 70 กิโลดالتัน และ 130 กิโลดالتัน ตามลำดับ จากผลการทดลองทำให้ทราบว่าเอนไซม์ DXS มีลักษณะเป็น dimer

Lois และคณะ (2000) โคลนยืน dxs จากใบมะเขือเทศสายพันธุ์ Ailsa Craig (*L. esculentum* Mill. cv. Ailsa Craig) พบลำดับนิวคลีโอไทด์ของยืน dxs ยาว 2,568 คู่เบส มีส่วนที่แปลรหัสเป็นกรดอะมิโนของเอนไซม์ DXS ได้ 2,160 คู่เบส ซึ่งแปลเป็นกรด อะมิโนได้ 719 กรดอะมิโน ในน้ำหนักโมเลกุล 77.6 กิโลดالتัน เมื่อเปรียบเทียบลำดับกรดอะมิโนของเอนไซม์ DXS กับพืชชนิดอื่นพบว่าใกล้เคียงกับ pepper 96%, *Arabidopsis* 83%, Peppermint 64% และใกล้เคียงกับแบคทีเรียคือ *E. coli* 60%

Hahn และคณะ (2001) โคลนยืน dxs จาก *R. capsulatus* พบว่ายืน dxs ใน *R. capsulatus* มีจำนวน 2 ยืน คือ dxsA และ dxsB โดยมีลำดับนิวคลีโอไทด์ที่เป็นกรดอะมิโนสำหรับเอนไซม์ DXS ยาว 641 และ 636 กรดอะมิโน ตามลำดับ เมื่อเปรียบเทียบลำดับกรดอะมิโนระหว่างเอนไซม์ DXSA กับ DXSB พบว่ามีความเหมือนกัน 64.3% จาก 622 กรดอะมิโน

Han และคณะ (2003) โคลนยืน dxs จากเซลล์เพาะเลี้ยงของต้นยอ (*Morinda citrifolia*) พบลำดับนิวคลีโอไทด์ 2,169 คู่เบส แปลรหัสเป็นกรดอะมิโนของเอนไซม์ DXS ได้ 722 กรดอะมิโน น้ำหนักโมเลกุล 77.97 กิโลดالتัน ค่า pH ที่เอนไซม์มีประจุรวมเป็นศูนย์หรือค่า pl (isoelectric point) เท่ากับ 7.9 เมื่อเปรียบเทียบลำดับกรดอะมิโนของเอนไซม์ DXS กับพืชชนิดอื่นพบว่าใกล้เคียงกับ *C. roseus* 80% *C. annuum*, *A. thaliana*, *L. esculentum*, *Mentha x piperita* และ *N. pseudonarcissus* 69-75% จากการทำนายโครงสร้างปฐมภูมิของเอนไซม์ DXS พบว่าลำดับของกรดอะมิโนที่เป็นตำแหน่งจับของ thiamine diphosphate คือ DGAMTAGQAYE AMNNAGFLDANLIVILNDN และเมื่อศึกษาถึงจำนวนยืน dxs (gene copy number) โดยการวิเคราะห์ด้วยวิธี Southern blot ทำให้ทราบว่า ยืน dxs จากต้นยอ่มีมากกว่า 4 ยืน

1.5 การศึกษาความสัมพันธ์ระหว่างวิถี MVA และวิถี MEP

จากการศึกษากระบวนการการสังเคราะห์ไอโซพรีโนยด์ในวิถี MVA และวิถี MEP ในพืชพบว่า วิถีทั้งสองทำงานในส่วนของเซลล์ที่แตกต่างกันโดยวิถี MVA เกิดในส่วนไฮโพพลาสซึมและวิถี MEP เกิดในส่วนพลาสติดของเซลล์ ปัจจุบันนักวิทยาศาสตร์ยังไม่ทราบกลไกที่แน่นอนในการแลกเปลี่ยนหรือส่งถ่ายสารประกอบที่เป็นตัวกลางในการสังเคราะห์ไอโซพรีโนยด์ เช่น isopentenyl diphosphate, geranyl diphosphate, farnesyl diphosphate หรือ geranylgeranyl diphosphate ที่สามารถแลกเปลี่ยนกันได้ระหว่างสองวิถีนี้ (Wanke et al., 2001) แต่ได้มีรายงานการวิจัยที่สนับสนุนความสัมพันธ์ระหว่างวิถีทั้งสองเช่น การศึกษาโดย Nabeta และคณะในปี 1997 จากเซลล์เพาะเลี้ยงของ liverwort ชนิด *Heterocypthus planus* และ *Lophocolea heterophylla* โดยการติดฉลากสารรังสีสารตัวกลางจากวิถี MVA แล้วติดตามการเคลื่อนย้ายสารในวิถีต่างกันพบว่า farnesyl diphosphate บริเวณไฮโพพลาสซึมของวิถี MVA สามารถเคลื่อนย้ายไปยังบริเวณพลาสติด เพื่อใช้ในการสังเคราะห์คลอโรฟิลล์ และแครอทินอยด์ได้ (Nabeta et al., 1997) รวมถึงการศึกษาการสังเคราะห์ไอโซพรีโนยด์จาก chamomile โดย Adam และ Zapp ในปี 1998 พบร่วมกันของการทำงานร่วมกันของวิถีทั้งสองในการสะสม isopentenyl diphosphate และมีการแลกเปลี่ยน isopentenyl diphosphate หรือ geranylgeranyl diphosphate ระหว่างวิถีทั้งสอง (Adam and Zapp, 1998) สอดคล้องกับการศึกษาของ Bick และ Lange ในปี 2003 ที่พนกรขันส่งสารตัวกลางในการสังเคราะห์ไอโซพรีโนยด์จากพลาสติดไปยังไฮโพพลาสซึม ในต้นอ่อนอายุ 16-25 วันของต้น Indian mustard (*Brassica juncea*) และในใบของต้น Kale (*Brassica oleracea*) และ spinach (*Spinacea oleracea*) (Bick and Lange, 2003) นอกจากการศึกษาความสัมพันธ์ระหว่างสารจากวิถีทั้งสองโดยการติดฉลากตัวยารังสีแล้ว ในปี 2002 Kasahara และคณะ ได้ใช้เทคนิคการวิเคราะห์ด้วยวิธี gas chromatography-mass spectrometry (GC-MS) ร่วมกับการใช้สารรังสีในการวิเคราะห์การสังเคราะห์ gibberellins (GAs) ซึ่งเป็นฮอร์โมนพืชในกลุ่ม diterpene ที่เกี่ยวข้องกับการเจริญเติบโตและการพัฒนาของพืช จาก *A. thaliana* พบร่วมกับวิถี MVA มีส่วนร่วมในการสังเคราะห์ GAs ด้วยเช่นกัน (Kasahara et al., 2002)

เมื่อมีการค้นพบสารซึ่งเป็นตัวยับยั้งการทำงานของเอนไซม์ในวิถีทั้งสอง เช่น mevinolin ยับยั้งการทำงานของเอนไซม์ HMGR จากวิถี MVA ในไฮโพพลาสซึม หรือ fosmidomycin ยับยั้งการทำงานของเอนไซม์ DXR จากวิถี MEP ในพลาสติด (Mueller et al., 2000) ดังนั้น ในปี 2003 Hemmerlin และคณะ จึงใช้ mevinolin และ fosmidomycin ในการศึกษาความสัมพันธ์ระหว่างวิถีทั้งสองในต้นยาสูบ โดยทดลองให้เห็นว่า sterols ซึ่งปกติเกิดจากวิถี MVA แต่เมื่อให้ mevinolin

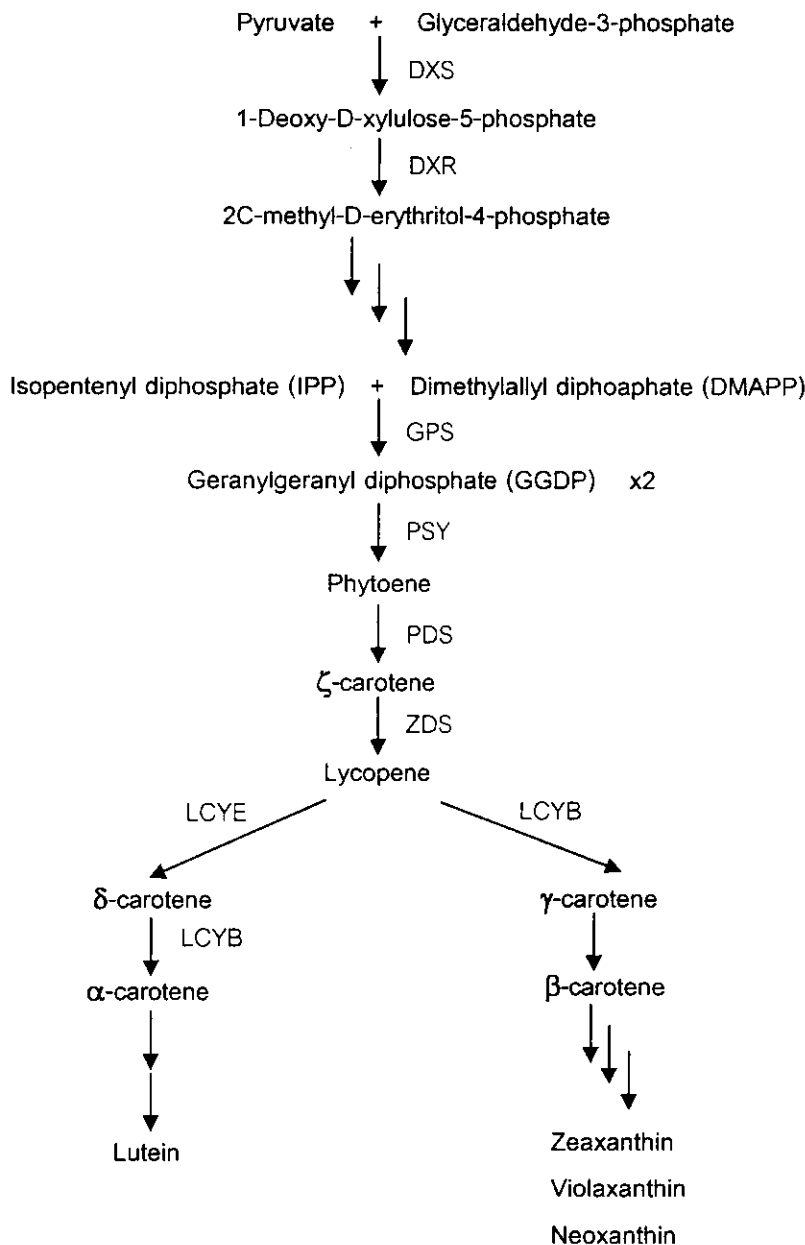
พบว่าสามารถสังเคราะห์ sterols ได้เหมือนเดิมโดยผ่านทางวิถี MEP และ plastoquinone ปกติ เป็นอนุพันธ์ของวิถี MEP แต่เมื่อให้ fosmidomycin พบว่าสามารถสังเคราะห์ได้โดยผ่านวิถี MVA (Hemmerlin et al., 2003) จากข้อมูลดังกล่าวแสดงให้เห็นว่าการสังเคราะห์ไอโซพรีโนอยด์ จากทั้ง ส่องวิถีสามารถทดแทนหรือส่งถ่ายกันได้ เช่นเดียวกับการศึกษาโดย Laule และคณะ ในปี 2003 ที่ศึกษาใน *A. thaliana* (Laule et al., 2003)

อย่างไรก็ตามแม้พบหลักฐานการแลกเปลี่ยนและทดแทนกันระหว่างสารตัวกลางในการ สังเคราะห์ไอโซพรีโนอยด์จากทั้งส่องวิถี แต่การแลกเปลี่ยนดังกล่าวมีข้อบกพร่องที่จำกัดขึ้นอยู่กับชนิด ของเซลล์ ระยะการพัฒนาและชนิดของพืช รวมถึงสภาพแวดล้อมทางกายภาพด้วย (Rodriguez-Concepcion and Boronat, 2002)

1.6 แคโรทินอยด์

16.1 การสังเคราะห์แคโรทินอยด์

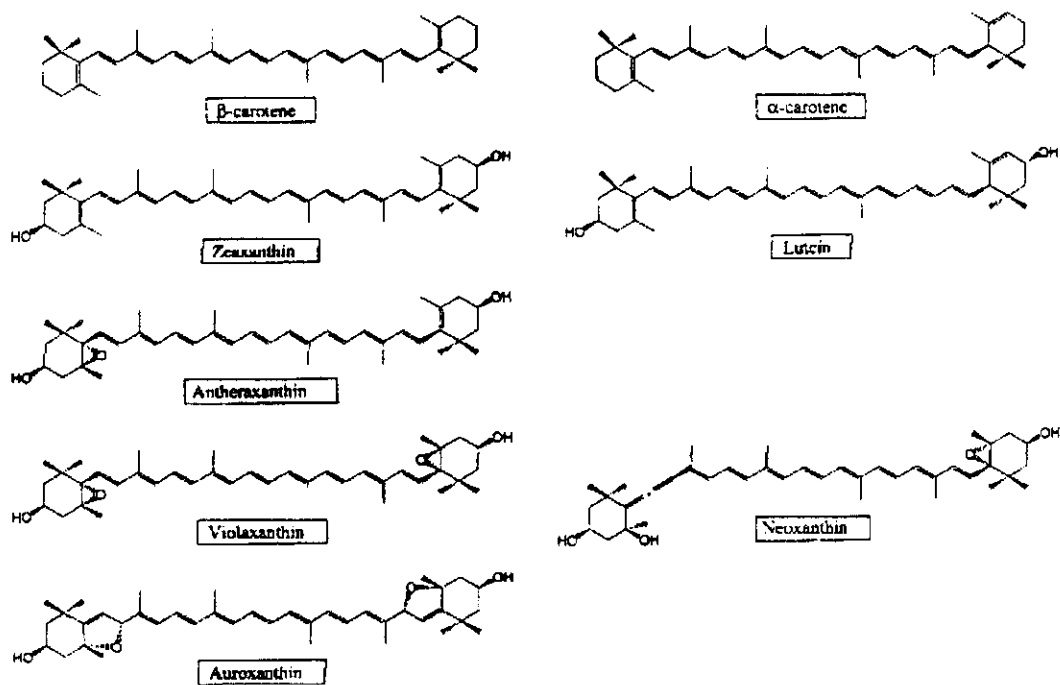
แคโรทินอยด์เป็นรงค์วัตถุที่พบมากสุดในธรรมชาติ เช่น ไข่แดง มะเขือเทศ แครอท มะม่วง แคนตาลูป มะละกอ ลูกพลับ ท้อ พืชตะเกียงส้ม พริกหยวกแดง-เหลือง สับปะรด ผักกาด ผักกาดขาว แตงโม เป็นต้น (ศิริพงษ์ ศิริเวชช, 2529; Philip and Chen, 1998; Rodriguez-Amaya, 2001) การสังเคราะห์แคโรทินอยด์ในพืชขั้นสูงสังเคราะห์ในพลาสติด โดยมีสารตั้งต้นคือ isopentenyl diphosphate ซึ่งได้จากวิถี MEP สำหรับขั้นตอนแรกของการสังเคราะห์แคโรทินอยด์เกิดจากการ รวมตัวกันของ geranylgeranyl diphosphate (GGDP) ได้เป็น phytoene โดยเอนไซม์ phytoene synthase (PSY) ต่อมาจึงมีการสร้างพันธะคู่ในโมเลกุลได้เป็น β -carotene และ lycopene โดย เเอนไซม์ phytoene desaturase (PDS) และ β -carotene desaturase (ZDS) ตามลำดับ จากนั้น lycopene จะเปลี่ยนเป็น α -carotene และ β -carotene โดยเอนไซม์ 2 ชนิดคือ lycopene- β -cyclase (LCYB) และ lycopene- α -cyclase (LCYE) สำหรับ β -carotene มีการเปลี่ยนแปลงเป็น สารกลุ่ม xanthophylls เช่น zeaxanthin, violaxanthin และ neoxanthin ดังรูปที่ 7 (Lois et al., 2000; Moehs et al., 2001; Busch et al., 2002)



รูปที่ 7 การสังเคราะห์แคโรทินอยด์ในพืชโดยผ่านวิถี MEP

DXS, 1-Deoxy-D-xylulose-5-phosphate synthase; DXR, 1-Deoxy-D-xylulose-5-phosphate reductoisomerase; GPS, Geranylgeranyl diphosphate synthase; PSY, Phytoene synthase; PDS, Phytoene desaturase; ZDS, ζ -carotene desaturase; LCYE, Lycopene- δ -cyclase; LCYB, Lycopene- β -cyclase. (ตัดแปลงจาก Lois et al., 2000; Moehs et al., 2001)

แครอทินอยด์แบ่งตามโครงสร้างทางเคมีได้ 2 กลุ่มคือ carotene ซึ่งเป็นกลุ่มที่โครงสร้างประกอบด้วยคาร์บอนและไฮโดรเจนเท่านั้น เช่น α -carotene และ β -carotene พบร้าในแครอท หรือ lycopene ที่พบได้ในมะเขือเทศ และอีกกลุ่มคือ xanthophyll เป็นกลุ่มที่มีโครงสร้างประกอบด้วย คาร์บอน ไฮโดรเจน และออกซิเจน หรืออาจเรียกว่าเป็นอนุพันธ์ออกซิเจนของ carotene เช่น capxanthin, capsorubin ในพริกแดง และ cryptoxanthin ที่เป็นวงกวัดถูกจำกัดในข้าวโพด มะละกอ และส้มแมนดาริน (ชาตุรุนต์ แซ่ลิม และสินรัย ทองขา, 2543) ตัวอย่างโครงสร้างของแครอทินอยด์แสดงในรูปที่ 8



รูปที่ 8 ตัวอย่างโครงสร้างของสารในกลุ่มแครอทินอยด์ (Suzuki and Shioi, 2003)

16.2 ประโยชน์ของแครอทินอยด์

เนื่องจากแครอทินอยด์พบได้ใน สาหร่าย เชื้อร้า แบคทีเรียที่สังเคราะห์แสงและพลาสติดของพีชชั้นสูง (Armstrong and Hearst, 1996) ดังนั้นบทบาทโดยทั่วไปของแครอทินอยด์คือป้องกันหรือต่อต้านการทำลายโดยอนุมูลอิสระ (Bartley and Scolnik, 1995) ที่เกิดจากการแฟร์สีของคลื่นแสงที่มองเห็น (visible light) และเนื่องจากสารในกลุ่มแครอทินอยด์เป็นสารมีสีเช่น สีเหลืองเข้ม ส้ม เสียว และชมพูถึงแดง จึงนิยมใช้เป็นสารสีในอุตสาหกรรมอาหารเพาะเลี้ยงสัตว์น้ำ โดยเฉพาะการใช้เป็นสารสีสำหรับปลา (Meyer et al., 1993) และใช้เป็นสีผสมอาหาร โดยสกัดสารสีแครอทินอยด์จากเมล็ดคำแಡด พริกหยวก มะเขือเทศ พีชตระกูลส้ม สำหรับผสมในมาการินเนยแข็ง ไอศกรีม น้ำมันพีช น้ำสลัด ไข่ผง ผลิตภัณฑ์นมสด แป้งเค้กสำเร็จรูป น้ำผลไม้และเครื่องดื่มต่างๆ (ชาตุรุนต์ แซลลิม และสินธัย ทองขาว, 2543) นอกจากนี้แครอทินอยด์ยังช่วยในการรักษาโรคในมนุษย์ เนื่องจากแครอทินอยด์ประกอบด้วย β -carotene ซึ่งเป็นสารต้านกำเนิดของวิตามินเอ จึงใช้เป็นอาหารเสริมเพื่อป้องกันและรักษาโรคขาดวิตามินเอ อีกทั้งช่วยลดการเกิดโรคหัวใจ (Palace et al., 1999) มะเร็งปอด (Mayne, 1996) รวมถึงสามารถป้องรังสีอัลตราไวโอลেต (Biesalski and Obermueller-Jevic, 2001; Heinrich et al., 2002) ดังนั้นในทางเคมีกรรมจึงนำมาทำยาและรักษาโรคพิษนังที่เกิดจากการแพ้แสงแดดเพื่อช่วยป้องกันและลดการเกิดมะเร็งผิวหนัง

16.3 การศึกษาความสัมพันธ์ระหว่างแครอทินอยด์กับยีน *dxs* และ *dxr*

16.3.1 ความสัมพันธ์ระหว่างแครอทินอยด์กับยีน *dxs* และ *dxr* ใน แบคทีเรีย การศึกษาการเพิ่มปริมาณการแสดงออก (overexpression) ของยีน *dxs* สำหรับเอนไซม์ DXS ซึ่งเป็นเอนไซม์ที่สำคัญในวิถี MEP นิยมศึกษาใน *E. coli* และในปี 1999 Bramley และ Harker ได้ cloning ยีน *dxs* จาก *B. subtilis* และ *Synechocystis* sp. 6803 แล้วนำยีนที่ cloning ได้มาศึกษาความสัมพันธ์กับปริมาณการแสดงออกของแครอทินอยด์ ซึ่งเป็นผลผลิตชนิดหนึ่งของวิถี MEP ใน *E. coli* ทำให้พบว่า เมื่อมีการเพิ่มการแสดงออกของยีน *dxs* จะส่งผลให้มีการเพิ่มระดับการสังเคราะห์แครอทินอยด์ เช่น lycopene 2-3 เท่าจากระดับปกติ (Harker and Bramley, 1999; Matthews et al., 2000) เมื่อศึกษาความสัมพันธ์ร่วมกัน (Co-expression) ระหว่างการแสดงออกของยีน *dxs* ร่วมกับยีน *dxr* ซึ่งเป็นยีนสำหรับเอนไซม์ DXR โดยเอนไซม์ดังกล่าวเป็นเอนไซม์ลำดับถัดมาจากการเอนไซม์ DXS ในวิถี MEP พบร่วมกับการแสดงออกร่วมกันระหว่างยีนทั้งสองในเซลล์ *E. coli* ส่งผลให้มีการเพิ่มระดับการผลิต lycopene 1.4-2 เท่าจากระดับปกติ (Kim and Keasling, 2001) และเมื่อนำยีน *dxs* หรือยีน *dxr* มาศึกษาการแสดงออกร่วมกับยีน *idi* ซึ่งเป็นยีนสำหรับเอนไซม์ isopentenyl diphosphate isomerase *E. coli* พบร่วมกับการแสดงออกของยีน *zeaxanthin*

เพิ่มขึ้นจากระดับปกติ 1.6 มิลลิกรัม/กรัมน้ำหนักแห้ง (mg/g DCW) (Albrecht *et al.*, 1991) และ astaxanthin เพิ่มขึ้น 6 เท่าของการแสดงออกของยีน *idi* อย่างเดียว (Lee and Schmidt-Dannert, 2002 ข้างจาก Wang *et al.*, 1999)

16.3.1 ความสัมพันธ์ระหว่างแครอทินอยด์กับยีน *dxs* และ *dxr* ในพืชชั้นสูง

Bouvier และคณะ (1998) ได้คลอนยีน *CapTKT2* (*dxs*) จากผลพิริกหัว瓜 สายพันธุ์ Yolo Wonder (*C. annuum* L. cv. Yolo Wonder) แล้วนำยีนที่คลอนได้มาติดเชิงกับ ใช้ติดตามการแสดงออกของยีน *CapTKT2* ในการเจริญของผลพิริกหัว瓜 เพื่อเบรียบเทียบกับ ปริมาณแครอทินอยด์ที่พบมากในพิริกหัว瓜 คือ capsanthin พบร่วมกับเมื่อผลของพิริกหัว瓜 มีการ พัฒนาเพิ่มขึ้นจะมีการสะสม capsanthin เพิ่มมากขึ้นและสอดคล้องกับการแสดงออกของยีน *CapTKT2* ที่เพิ่มขึ้นเช่นเดียวกัน

Estevez และคณะ (2000) ศึกษาฐานแบบการแสดงออกของยีน *CLA1* (*dxs*) สำหรับเอนไซม์ DDXS ในพืชเป็นครั้งแรกจาก *Arabidopsis* โดยเบรียบเทียบระหว่างเนื้อเยื่อที่ ใช้ในกระบวนการสังเคราะห์ด้วยแสง (photosynthetic tissues) กับเนื้อเยื่อที่ไม่เกี่ยวข้องใน กระบวนการสังเคราะห์ด้วยแสง (non-photosynthetic tissues) ตลอดจนเบรียบเทียบระหว่างต้น อ่อนที่มียีน *CLA1* ที่ปกติ (wild type) กับผิดปกติ (mutant) ทำให้พบว่ายีน *CLA1* มีความสำคัญ ในการพัฒนาของคลอโรพลาสต์ซึ่งเกี่ยวข้องกับการสังเคราะห์คลอโรฟิลล์และแครอทินอยด์

Lois และคณะ (2000) ได้วิเคราะห์ฐานแบบการแสดงออกของยีน *dxs* ในผล มะเขือเทศ (*L. esculentum*) ตั้งแต่ผลอ่อนจนพัฒนาเป็นผลสุก โดยเบรียบเทียบระหว่างสายพันธุ์ Ailsa Craig ซึ่งเป็นพันธุ์ดั้งเดิม และพันธุ์ yellow flesh ซึ่งเป็นพันธุ์ผิดปกติ พบร่วมด้วย การ แสดงออกของยีน *dxs* เพิ่มขึ้นแบบตามอายุของผลมะเขือเทศและเมื่อศึกษาตำแหน่งที่มีการ สะสมแครอทินอยด์กับอาร์เอ็นเอส์ช่าวน (mRNA) ของยีน *dxs* ในผลมะเขือเทศ พบร่วมกับผลมะเขือเทศ สุกมีการสะสมแครอทินอยด์มากที่สุด และสอดคล้องกับการสะสมอาร์เอ็นเอส์ช่าวนของยีน *dxs*

Walter และคณะ (2000) ได้นำเชื้อรากที่อยู่ร่วมกับรากรากพืช (arbuscular mycorrhizas, AMs) คือ *Glomus intraradices* มาบ่มกับราชข้าวสาลี (*Triticum aestivum*), ข้าวโพด (*Zea mays*), ข้าว (*O. sativa*) และบาร์เลีย (*Hordeum vulgare*) เพื่อใช้ศึกษา ความสัมพันธ์ระหว่างระดับการสังเคราะห์ยีน *dxs* และ *dxr* กับปริมาณ apocarotenoids คือ cyclohexenone และ mycorradicin ซึ่งเป็นแครอทินอยด์ในกลุ่ม xanthophylls ที่สะสมในรากรากพืช ที่มีเชื้อราก arbuscular mycorrhizas อาศัยอยู่ เมื่อตรวจวัดระดับการแสดงออกของยีน *dxs* และ *dxr* หลังจากบ่มเชื้อรากในรากรากพืชทั้ง 4 ชนิดเป็นเวลา 1-8 สัปดาห์ พบร่วมด้วยการแสดงออกของยีน

ทั้ง 2 เพิ่มขึ้นแปรผันกับการสังเคราะห์ apocarotenoids มากกว่าในรากพืชที่ไม่ผ่านการปั่นตัวอย่างเช่นรา

Moehs และคณะ (2001) ศึกษาปริมาณการสะสมแครอทินอยด์ในกลีบดอกดาวเรืองที่มีการเจริญระยะต่างๆ พบร่วมปริมาณแครอทินอยด์ในกลีบดอกดาวเรืองเพิ่มขึ้นอย่างรวดเร็วในดอกดาวเรืองระยะที่ 3 และ 4 ซึ่งมีกลีบดอกยาว 8-10 มิลลิเมตร และเมื่อศึกษาการแสดงออกของยีนที่เกี่ยวข้องกับวิถีการสังเคราะห์แครอทินอยด์ในระยะตั้งกล่าวเปรียบเทียบกับใบพบว่าการแสดงออกของยีน *dxr* และ *dxs* บริเวณใบมีมากกว่ากลีบดอก โดยยีน *dxr* มีการแสดงออกมากกว่ายีน *dxs* ทั้งในใบและกลีบดอก

Estevez และคณะ (2001) ศึกษาผลผลกระทบจากการเปลี่ยนแปลงระดับเอนไซม์ DDXS ที่ควบคุมด้วยยีน *CLA1* (*dxs*) จาก *A. thaliana* ต่อปริมาณการสังเคราะห์แครอทินอยด์ โดยเปรียบเทียบกันระหว่าง transgenic plants ที่ได้จากการ transform sense และ antisense *CLA1* gene กับ non-transgenic plants พบร่วมเมื่อการเปลี่ยนแปลงระดับการแสดงออกของยีน *dxs* จะส่งผลให้มีการเปลี่ยนแปลงปริมาณแครอทินอยด์รวมถึงส่งผลกระทบต่อขั้ตตราการของเมล็ด ความสามารถในการอุ่นรอด การสืบพันธุ์ ตลอดจนลักษณะพื้นที่ในไทด์ (phenotype) เช่น สีใบ ความยาวช่อดอก เป็นต้น

Rodriguez-Concepcion และคณะ (2001) ศึกษาความสัมพันธ์ของระดับ mRNA ของยีน *dxr* ในระหว่างการสะสมแครอทินอยด์ในผ่อนะเขือเทศ พบร่วมยีน *dxr* เป็นยีนที่ช่วยสนับสนุนยีน *dxs* ซึ่งเป็นยีนหลักที่สำคัญจากวิถี MEP ในการสังเคราะห์ไอโซพรีนอยด์ โดยเฉพาะแครอทินอยด์ในมะเขือเทศ

วัตถุประสงค์

1. โคลนและศึกษาการเรียงลำดับนิวคลีโอไทด์ที่สมบูรณ์ของยีน *dxs* สำหรับเอนไซม์ DXS ในใบปาล์มน้ำมัน
2. โคลนและศึกษาการเรียงลำดับนิวคลีโอไทด์จากส่วนของยีน *dxr* สำหรับเอนไซม์ DXR ในใบและผลปาล์มน้ำมัน
3. ศึกษาการแสดงออกของยีน *dxs* และ *dxr* ในผลปาล์มน้ำมันระยะต่างๆ
4. ศึกษาความสัมพันธ์ระหว่างยีน *dxs* และ *dxr* กับปริมาณ β -carotene ในผลปาล์มน้ำมัน
5. ศึกษาความยาและลำดับเปปไทด์ที่นำเอนไซม์ DXS เข้าสู่คลอโรพลาสต์ในปาล์มน้ำมันและพืชขั้นสูงชนิดอื่น
6. ศึกษาวิถีของการขอกเอนไซม์ DXS ในใบปาล์มน้ำมันเบรียบเทียบกับสิ่งมีชีวิตอื่น
7. ศึกษาบริเวณจับของ Thiamine diphosphate บนเอนไซม์ DXS ในปาล์มน้ำมันและสิ่งมีชีวิตอื่น